

Methode van Grammel voor het onderzoek naar de spanningsverdeling bij roterende schijven met sprongsgewijs veranderende dikte

Citation for published version (APA):

Brekelmans, W. A. M. (1968). *Methode van Grammel voor het onderzoek naar de spanningsverdeling bij roterende schijven met sprongsgewijs veranderende dikte: experiment : rekstrookmeting : I1-opdracht.* (DCT rapporten; Vol. 1969.018). Technische Hogeschool Eindhoven.

Document status and date:

Gepubliceerd: 01/01/1968

Document Version:

Uitgevers PDF, ook bekend als Version of Record

Please check the document version of this publication:

- A submitted manuscript is the version of the article upon submission and before peer-review. There can be important differences between the submitted version and the official published version of record. People interested in the research are advised to contact the author for the final version of the publication, or visit the DOI to the publisher's website.
- The final author version and the galley proof are versions of the publication after peer review.
- The final published version features the final layout of the paper including the volume, issue and page numbers.

[Link to publication](#)

General rights

Copyright and moral rights for the publications made accessible in the public portal are retained by the authors and/or other copyright owners and it is a condition of accessing publications that users recognise and abide by the legal requirements associated with these rights.

- Users may download and print one copy of any publication from the public portal for the purpose of private study or research.
- You may not further distribute the material or use it for any profit-making activity or commercial gain.
- You may freely distribute the URL identifying the publication in the public portal.

If the publication is distributed under the terms of Article 25fa of the Dutch Copyright Act, indicated by the "Taverne" license above, please follow below link for the End User Agreement:

www.tue.nl/taverne

Take down policy

If you believe that this document breaches copyright please contact us at:

openaccess@tue.nl

providing details and we will investigate your claim.

I. - opdracht

D.P. Baayen.

Methode van Grammel voor het onderzoek naar de
Spanningsverdeling bij rotende schijven met sprong-
geometrisch veranderende dikte

Experiment: Reibstrookmeting.

September 1968

Ons doel

Ons doel	Blad.
Inleiding	3
Hooftaak I: Het niet-uniforme spanningssveld.	blad. 4 - 6
Hooftaak II: De rechte uiging en in cyclische coördinaten	blad. 6 - 8
Hooftaak III: De slanke schijf.	blad. 8 - 11
Hooftaak IV: De schijf met gehoorde dichte en massa's in midden.	blad. 11 - 17
Hooftaak V: En eenzijdige belading van de problemen	blad. 17 - 21
Hooftaak VI: Afleiding van de reductie van gevallen door middel van de principie van minimale potentiële energie	blad. 21 - 25
Hooftaak VII: Afleiden der effectieve rechte uiging door variëren	blad. 25 - 28
Hooftaak VIII: De schijf bestaande uit twee delen met constante niet-gelyke dichten.	blad. 28 - 35
Hooftaak IX: Berekening van alle steunende reacties en de gecirculaire spanning in de schijf.	blad. 35 - 43
Hooftaak X: Het probleem als drie schijven beschouwen	blad. 43 - 47
Hooftaak XI: Beperking van de steunende spanning in de midden-schijf (II)	blad. 47 - 50
Hooftaak XII: Het experiment	blad. 50 - 53
Mogingen: de grafieken	blad. 53 - 59.
Conclusie	blad. 59 - 61

— f —

Inleiding.

Gheft de als homogen aangenomen schijf overal dezelfde dikte en zijn alle randkrachten zowel aan de binnenkant als aan de buitenkant gelijkmatig verdeeld en zijn er onder geen volume krachten aanwezig, dan heeft men exact met een tweedimensionale spanningstoestand te doen. Als van deze voorwaarden niet volstaan is, dan zijn b.v. de volume krachten aanwezig in de vorm van centrifugalkrachten t.g.v. rotatie dan kan men een benadering vinden door het probleem als tweedimensionaal te beschouwen.

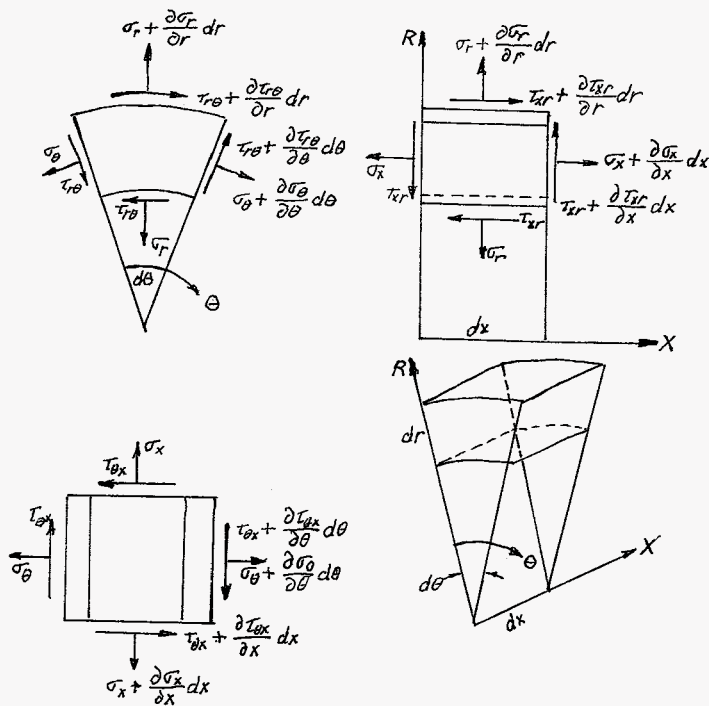
Wij stellen dat de afgeleide van de hechtkelkis constant is en we leggen in het midden van de schijf een draaiend assenstelsel aan met een hechtkelkis gelijk aan die van de schijf. In dit stelsel staat de schijf als stiel. We nemen dan aanstaat van de d'Alambert krachten als volume krachten in de vallen.

De inlaad van de dwarskracht wordt verwaarloosd.

+

I Het niet-uniforme spanningssbelot

De evenwichtsvergelijkingen in cilindrische coördinaten.



De volume krachten tegen R , θ en X in de R , θ en X richting.

Het evenwicht van alle afhankelijke stukken is:

open. De volume krachten worden verondersteld in het middelen van de infinitesimale elementen aan te grijpen.

$$\begin{aligned} 0 = \sum K_R &= R dx d\theta \left[\frac{\sigma_r d\theta + (\tau_{\theta r} + \tau_{r\theta}) d\theta}{2} \right] + \left(\tau_r + \frac{\partial \tau_r}{\partial r} dr \right) / (r + dr) d\theta dx \\ &- \sigma_r r d\theta dx - \tau_{\theta r} dr dx \sin \frac{d\theta}{2} - \left(\tau_{\theta r} + \frac{\partial \tau_{\theta r}}{\partial \theta} d\theta \right) dr dx \sin \frac{d\theta}{2} + \\ &+ \left(\tau_{r\theta} + \frac{\partial \tau_{r\theta}}{\partial \theta} d\theta \right) dr dx - \tau_{r\theta} dr dx + \left(\tau_{xx} + \frac{\partial \tau_{xx}}{\partial x} dx - \tau_{rx} \right) \left[\frac{\tau_{\theta r} + (\tau_{r\theta} + \tau_{\theta r}) d\theta}{2} \right] dr \end{aligned}$$

We veronderstellen nu dat we de termen met de orde groter dan $dx dr d\theta$ mogen negeeren.

De overgerekende evenwichtsvergelijking staat dan over in:

$$R r + r \frac{\partial \tau_r}{\partial r} + \tau_r - \tau_{\theta r} + \frac{\partial \tau_{\theta r}}{\partial \theta} + r \frac{\partial \tau_{rx}}{\partial x} = 0 \quad I-1$$

waarbij verder nog gesteld wordt dat $\sin \frac{d\theta}{2} d\theta = \frac{1}{2} d\theta$ voor kleine waarden van θ .

Evenwicht in θ -richtung.

$$\begin{aligned}\sum K_\theta = 0 &= \theta r dr d\theta dx + (\bar{\sigma}_\theta + \frac{\partial \bar{\sigma}_\theta}{\partial \theta} d\theta) dr dx - \bar{\sigma}_\theta dr dx + \\ &+ (\bar{\tau}_{r\theta} + \frac{\partial \bar{\tau}_{r\theta}}{\partial r} dr) / (r + dr) / d\theta dx - \bar{\tau}_{r\theta} r d\theta dx + \\ &+ \bar{\tau}_{r\theta} \sin^2 \theta d\theta dr dx + (\bar{\tau}_{r\theta} + \frac{\partial \bar{\tau}_{r\theta}}{\partial \theta} d\theta) / \sin^2 \theta d\theta dr dx \\ &+ (\bar{\tau}_{\theta x} + \frac{\partial \bar{\tau}_{\theta x}}{\partial x} dx - \bar{\tau}_{\theta x}) / \left[\frac{r d\theta + (r + dr) d\theta}{2} \right] dr\end{aligned}$$

Mit denselben Beziehungen als oben genannt und ohne evenwichtsbedingung:

$$\frac{\partial \bar{\sigma}_\theta}{\partial \theta} + \frac{\partial \bar{\tau}_{r\theta}}{\partial r} + 2 \frac{\bar{\tau}_{r\theta}}{r} + \frac{\partial \bar{\tau}_{\theta x}}{\partial x} + \theta = 0 \quad I-2$$

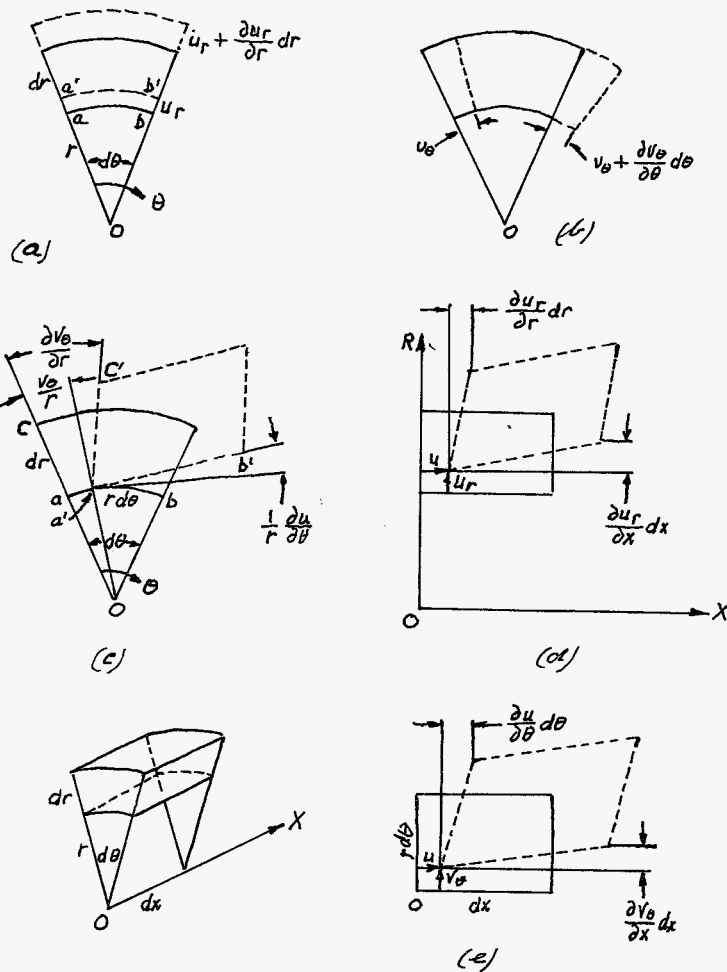
Evenwicht in x -richtung:

$$\begin{aligned}\sum K_x = 0 &= x r dr d\theta dx + (\bar{\sigma}_x + \frac{\partial \bar{\sigma}_x}{\partial x} dx - \bar{\sigma}_x) / \frac{r d\theta + (r + dr) d\theta}{2} dr \\ &+ (\bar{\tau}_{\theta x} + \frac{\partial \bar{\tau}_{\theta x}}{\partial \theta} d\theta) dr dx - \bar{\tau}_{\theta x} dr dx + (\bar{\tau}_{rx} + \frac{\partial \bar{\tau}_{rx}}{\partial r} dr) / (r + dr) / d\theta dx \\ &- \bar{\tau}_{rx} r d\theta dx \\ \Rightarrow \frac{\partial \bar{\sigma}_x}{\partial x} + \frac{1}{r} \frac{\partial \bar{\tau}_{\theta x}}{\partial \theta} + \frac{\partial \bar{\tau}_{rx}}{\partial r} + \frac{\bar{\tau}_{rx}}{r} + x &= 0 \quad I-3\end{aligned}$$

Die allgemeine Spannungsgleichungen in zylindrischen Koordinaten lauten:

$$\left. \begin{aligned} \frac{\partial \bar{\sigma}_r}{\partial r} + \frac{1}{r} \frac{\partial \bar{\tau}_{r\theta}}{\partial \theta} + \frac{\bar{\tau}_r - \bar{\sigma}_\theta}{r} + \frac{\partial \bar{\tau}_{rx}}{\partial x} + R &= 0 \\ \frac{1}{r} \frac{\partial \bar{\sigma}_\theta}{\partial \theta} + \frac{\partial \bar{\tau}_{r\theta}}{\partial r} + \frac{2 \bar{\tau}_{r\theta}}{r} + \frac{\partial \bar{\tau}_{\theta x}}{\partial x} + \theta &= 0 \\ \frac{\partial \bar{\sigma}_x}{\partial x} + \frac{1}{r} \frac{\partial \bar{\tau}_{\theta x}}{\partial \theta} + \frac{\partial \bar{\tau}_{rx}}{\partial r} + \frac{\bar{\tau}_{rx}}{r} + x &= 0 \end{aligned} \right\} I-4$$

II De rekenregels in cilindrische coördinaten



De rekenregel in de R-richting is volgens bovenstaande figuur:

$$\epsilon_r = \frac{u_r + \frac{\partial u_r}{\partial r} dr - u_r}{dr} = \frac{\partial u_r}{\partial r} \quad \text{H-1}$$

Om θ-richting:

In de figuur kunnen we zien dat een kleine radiale verplaatsing een rech in de θ-richting veroorzaakt. De lengte a-b van het elementje was oorspronkelijk $r d\theta$ maar na de radiale verplaatsing u_r is het stukje a'b' de nieuwe plaats en dus zijn nieuwe lengte $(r + u_r) d\theta$

De tangentiële rech is dus ten gevolge van de radiale verplaatsing:

$$\epsilon_{\theta_1} = \frac{(r+u_r) d\theta - r d\theta}{r d\theta} = \frac{u_r}{r}$$

De tangentiële verplaatsing v_θ veroorzaakt ook nog een tangentiële rek van:

$$\epsilon_{\theta_2} = \frac{v_\theta + \frac{\partial v_\theta}{\partial \theta} d\theta - v_\theta}{r d\theta} = \frac{1}{r} \frac{\partial v_\theta}{\partial \theta}$$

\Rightarrow De totale tangentiële rek is dan:

$$\epsilon_\theta = \frac{u_r}{r} + \frac{1}{r} \frac{\partial v_\theta}{\partial \theta} \quad II-2$$

De rek in de x-richting is:

$$\epsilon_x = \frac{\partial u}{\partial x} \quad II-3$$

De afsluitrek wordt gevonden door het product tussen de hoek cab en c'ab' (zie figuur 9)

$$f_{rx} = \frac{1}{r} \frac{\partial u_r}{\partial \theta} + \frac{\partial v_\theta}{\partial r} - \frac{v_\theta}{r} \quad II-4$$

De enste term komt van de verandering in de radiale verplaatsing u_r in tangentiële richting; de tweede term komt van de verandering in alle tangentiële verplaatsing v_θ in radiale richting; de laatste term wektint omdat de hellingsverandering van de lijn a'c' aangevolgt is van alle rotatie van het element als star letgaan om de as door O

Evenzo vindt men:

$$f_{rx} = \frac{\frac{\partial u}{\partial \theta} \cdot d\theta}{r d\theta \left(1 + \frac{\partial v_\theta}{\partial \theta}\right)} + \frac{\frac{\partial v_\theta}{\partial x} \cdot dx}{dx \left(1 - \frac{\partial u}{\partial x}\right)} = \frac{1}{r} \frac{\partial u}{\partial \theta} + \frac{\partial v_\theta}{\partial x} \quad II-5$$

$$f_{rx} = \frac{\frac{\partial u_r}{\partial x} \cdot dx}{dx \left(1 + \frac{\partial u}{\partial x}\right)} + \frac{\frac{\partial u}{\partial r} \cdot dr}{dr \left(1 + \frac{\partial u_r}{\partial r}\right)} = \frac{\partial u_r}{\partial x} + \frac{\partial u}{\partial r} \quad II-6$$

De platte schijf

Exact gezien kan een spanningstoestand, waarbij volumekrachten zoals centrieffoekkrachten aanwezig zijn bij een elastisch lichaam nooit tweedimensionaal zijn. Maakt men echter de plausibele aanname, dat in een schijf geen enkele schuifspanning of wel heel kleine schuifspanningen aanwezig zijn op de bladelementen, die evenwijdig rigen met het middelstuk van de schijf en dat verder de oppervlakte spanningen onafhankelijk zijn van de richting x , de richting van alle as van de rechte schijf, dan verkrijgt men een goede benadering van een vlakspanningsstoestand.

Omdat $\dot{x} = 0$ geldt $X = 0$ en omdat het buitenvlak van de schijf onbelast is geldt verder:

$\sigma_x = 0$ en $\tau_{x\theta} = \tau_{xr} = 0$. Dondat de schijf also is gelden de aannames van σ_x , $\tau_{x\theta}$ en τ_{xr} ook hier in de schijf. Lat $\Pi - 4$ volgt dan:

$$\frac{\partial \sigma_r}{\partial r} + \frac{1}{r} \frac{\partial \tau_{r\theta}}{\partial \theta} + \frac{\sigma_r - \sigma_\theta}{r} + R = 0$$

$$\frac{1}{r} \frac{\partial \sigma_\theta}{\partial \theta} + \frac{\partial \tau_{r\theta}}{\partial r} + \frac{1}{r} \frac{\partial \tau_{\theta r}}{\partial \theta} + \theta = 0$$

De schijf roert met een constante hoeknelheid $\dot{\theta}$ en geldt dan $\theta = \vartheta t$ en $R = \varrho \omega^2 r$ met ϱ massa per volume een liot. Omdat de schijf homogeen is, is ϱ onafhankelijk van θ en ook $\varrho \omega^2 r$ is onafhankelijk van θ . We hebben dus met een rotatie symmetrische belasting te doen.

Dit leidt in dat de afgeleiden naar θ niet bestaan. Hiervoor geldt uiteraard dan gevolg van de symmetrie dat de schuifspanning $T_{r\theta} = 0$. De evenwichtsvergelijkingen worden nu:

$$T_{r\theta} = 0$$

$$\frac{d T_r}{dr} + \frac{T_r - T_\theta}{r} + \rho w^2 r = 0$$

$$\text{ofwel: } \frac{d}{dr}(r T_r) - T_\theta + \rho w^2 r^2 = 0 \quad \text{III-1}$$

Het oplossen van deze differentiaalvergelijking gaat als volgt in drie stappen.

Van een spanningsfunctie ϕ in hoekhoogte dat aan bovenstaande evenwichtsbonussen voldaan wordt

$$\text{dus wel } T_r = \frac{\phi}{r} \text{ en } T_\theta = \frac{d\phi}{dr} + \rho w^2 r^2 \quad \text{III-2}$$

De rechtegelijkingen lopen met $\frac{\partial}{\partial \theta} = 0$

$$\epsilon_r = \frac{d u_r}{dr} ; \epsilon_\theta = \frac{u_r}{r} \quad \text{III-3} \rightarrow \epsilon_r = (r \epsilon_\theta)'$$

De wet van Hooke op dit lijfdeem toegestaan wordt:

$$\epsilon_r = \frac{1}{E} (T_r - \nu T_\theta) ; \epsilon_\theta = \frac{1}{E} (T_\theta - \nu T_r) \quad \text{III-4}$$

uit III-3 volgt:

$$\frac{d \epsilon_\theta}{dr} = \frac{1}{r} \frac{du_r}{dr} - \frac{u_r}{r^2} = \frac{1}{r} \epsilon_r - \frac{\epsilon_\theta}{r}$$

$$\Rightarrow \epsilon_\theta - \epsilon_r + r \frac{d \epsilon_\theta}{dr} = 0 \quad \text{III-5}$$

Substitueert III-4 in III-5

\Rightarrow

$$(1+\nu)/(T_\theta - T_r) + r / \frac{dT_\theta}{dr} - \nu \frac{dT_r}{dr} = 0$$

Delle vergelijking noemt men de compatibiliteitsvergelijking uitgedrukt in alle spanningen.

Delle vergelijking kan ongeveer worden in een spanningsspanning vergelijking door hierin alle constanteën III_{-2} te substitueren.

dit levert:

$$r^2 \frac{d^2 \phi}{dr^2} + r \frac{d\phi}{dr} - \phi + \frac{1}{3+\nu} \rho \omega^2 r^3 = 0$$

Prochouw eerst de homogene vergelijking

$$r^2 \frac{d^2 \phi}{dr^2} + r \frac{d\phi}{dr} - \phi = 0$$

$$\text{Stel } \phi_1 = Ar^p$$

\Rightarrow

$$r^2 \cdot p(p-1) A \cdot r^{p-2} + r \cdot p A \cdot r^{p-1} - Ar^p = 0$$

$$p(p-1) r^p + pr^p - r^p = 0$$

$$p^2 - p + p - 1 = 0 \Rightarrow p_1 = 1 \text{ en } p_2 = -1$$

$$\text{Dus } \phi_1 = A_1 r + A_2 \cdot \frac{1}{r}$$

Een particulaire oplossing is:

$$\phi_2 = -\frac{1}{3+\nu} \rho \omega^2 r^3$$

$$\Rightarrow \phi = \phi_1 + \phi_2 = A_1 r + \frac{A_2}{r} - \frac{1}{3+\nu} \rho \omega^2 r^3$$

$$\text{Vergelijkt } T_r = \frac{\phi}{r} = A_1 + \frac{A_2}{r^2} - \frac{1}{3+\nu} \rho \omega^2 r^2$$

$$T_r = \frac{d\phi}{dr} + \rho \omega^2 r^2 = A_1 - \frac{A_2}{r^2} - \frac{3}{\delta} \left(\frac{1}{3+\nu} \rho \omega^2 r^2 + \rho \omega^2 r^2 \right)$$

$$T_r = A_1 - \frac{A_2}{r^2} - \frac{1+3\nu}{\delta} \rho \omega^2 r^2$$

De constanten A_1 en A_2 worden bepaald door een aantal voorwaarden.

De neptoestanden zijn:

$$\frac{M_1}{r} = \frac{1}{E} \left(\sigma_0 - \nu \sigma_r \right) = \frac{1}{E} \left[A_1 - \frac{A_2}{r^2} - \frac{1+3\nu}{8} \rho \omega^2 r^2 - \nu A_1 - \frac{\nu A_2}{r^2} + \nu \frac{3+4\nu}{8} \rho \omega^2 r^2 \right]$$

$$\frac{M_2}{r} = \frac{1}{E} \left[A_1 / (1-\nu) - \frac{A_2}{r^2 / (1+\nu)} - \frac{1-\nu^2}{8} \rho \omega^2 r^2 \right]$$

~~+~~

IV

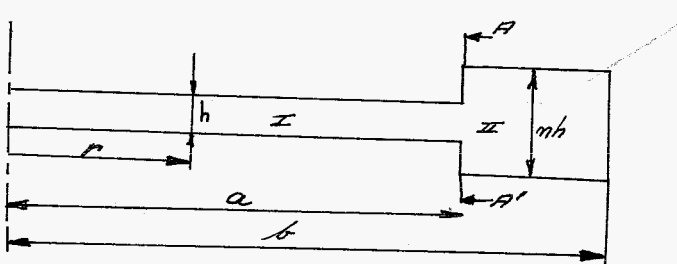
De gatloze schijf met gesloten midden

Het donkere beschouwde geval is een schijf die in het middelen massief is en aan de buitenkant plotseling overgaat in een buitenvrij. Ondat de spanning aan de $r=0$ niet onvoldoende kunnen worden (n.l. elastisch loslaan dat continu verandert) moet $P_2 = 0$ zijn.

$$\Rightarrow \sigma_r = P_1 - \frac{34V}{\delta} \rho \omega^2 r^2$$

$$\sigma_\theta = P_1 - \frac{143V}{\delta} \rho \omega^2 r^2$$

$$U_p = \frac{C}{E} \left[P_1 (1 - V) - \frac{14V}{\delta} \rho \omega^2 r^2 \right]$$



Men kan van het bepalen van dit probleem verschillende benaderingen volgen.

In de eerste plaats kan men alle hars kunnen beschouwen als een rotatief symmetrische schijf die aan verbonden is in de oomsnede $A-A'$ met de massieve schijf I.

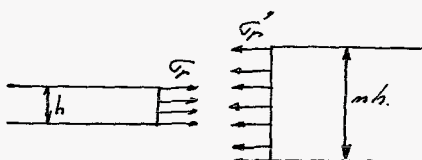
Men kan aannemen dat de spanning in de oomsnede $A-A'$ discontinu kan veranderen t.g.v. de omtrekverandering en meent men dan dat de reële verplaatsing in $r=a$ voor

schijf II te verhogen dan is men verbaat van
dat de voorwaarde dat de radiale dwarskracht over alle
drie delen moet blijven gelden, de spanningen in
I en II te bepalen.

Men moet dit als volgt zien:

Links van de doorsnede A-A' is de spanning σ_r per
laag eenheid constant over de uitdekkingshoogte (statisch geregteld)

Aan de rechterkant van A-A' wordt die uitdekkingshoogte niet meer
als gevolg dat σ_r plotseling moet dalen met factor m .
Opdat aan de radiale dwarskracht nog voldaan wordt.
De werkelijkheid kunnen in elastische bekkenen geen
discontinuïteiten in de spanningen op te lezen ondanks
anders de schuifspanning die op deze plekken werkt niet
discontinue heftspanningen om eenig groot moeite te kosten.



Radiale dwarskracht op beide stukken voor $r=a$

$$\text{Tr.h.r.a}\sigma = \sigma'_r \cdot n.h.r.a \Rightarrow \sigma'_r = \frac{1}{m} \sigma_a$$

Voor schijf II geldt als op dezelfde manier als boven gevonden
is afgeleid de formule:

$$\sigma_r = \sigma_a^2 + \frac{\sigma_a'}{m^2} - \frac{34V}{\delta} \rho w^2 r^2$$

$$\sigma_r = \sigma_a^2 - \frac{\sigma_a'}{m^2} - \frac{113V}{\delta} \rho w^2 r^2$$

Voor $r=b$ geldt $\sigma_r = 0$



$$0 = R_1' + \frac{R_2'}{b^2} - \frac{3+V}{\delta} \rho \omega^2 b^2 \Rightarrow R_1' = - \frac{R_2'}{b^2} + \frac{3+V}{\delta} \rho \omega^2 b^2$$

$$\text{Dus } T_r = R_2' \left(\frac{1}{r^2} - \frac{1}{b^2} \right) - \frac{3+V}{\delta} \rho \omega^2 (r^2 - b^2)$$

$$T_\theta = - R_2' \left(\frac{1}{r^2} + \frac{1}{b^2} \right) - \rho \omega^2 \left(\frac{1+3V}{\delta} r^2 - \frac{3+V}{\delta} b^2 \right)$$

Vandaar geldt voor de afwijking van de rech ϵ_0

$$\begin{aligned} \epsilon_0 &= \frac{U_r}{r} = \frac{1}{E} \left[(T_r - V T_\theta) \right. \\ &= \frac{1}{E} \left[-R_2' \left(\frac{1}{r^2} + \frac{1}{b^2} + \frac{V}{r^2} - \frac{V}{b^2} \right) - \rho \omega^2 \left(\frac{1+3V}{\delta} r^2 - \frac{3+V}{\delta} b^2 \right) \right. \\ &\quad \left. + \left(\frac{3+V}{\delta} \right) V \rho \omega^2 (r^2 - b^2) \right] \end{aligned}$$

$$\frac{U_r}{r} = \frac{1}{E} \left[-\frac{R_2'}{r^2} (1+V) - \frac{R_2'}{b^2} (1-V) - \frac{1+3V}{\delta} \rho \omega^2 r^2 + \frac{3+V}{\delta} \rho \omega^2 (b^2 + Vr^2 - Vb^2) \right]$$

$$\frac{U_r}{r} = \frac{1}{E} \left[-\frac{R_2'}{r^2} (1+V) - \frac{R_2'}{b^2} (1-V) + \rho \omega^2 r^2 \left(\frac{V^2-1}{\delta} \right) + \rho \omega^2 b^2 \left(\frac{3+V}{\delta} \right) (1-V) \right]$$

Na maat terugvalg van de aanhouding van afwijking ϵ en ϵ' voor $R=a$ gelden:

$$U_{rI} = U_{rII} \Rightarrow \frac{U_{rI}}{r} = \frac{U_{rII}}{r} = \epsilon_{rI} = \epsilon_{rII}$$

$$\frac{1}{r} \left[R_2 (1-V) - \frac{1-V^2}{\delta} \rho \omega^2 a^2 \right] = \frac{1}{r} \left[-\frac{R_2'}{a^2} (1+V) - \frac{R_2'}{b^2} (1-V) + \rho \omega^2 a^2 \left(\frac{V^2-1}{\delta} \right) + \rho \omega^2 b^2 \left(\frac{3+V}{\delta} \right) (1-V) \right]$$

→

$$\begin{aligned} -R_2' \left(\frac{1+V}{a^2} + \frac{1-V}{b^2} \right) &= R_2 (1-V) - \frac{1-V^2}{\delta} \rho \omega^2 a^2 - \rho \omega^2 a^2 \left(\frac{V^2-1}{\delta} \right) - \rho \omega^2 b^2 \left(\frac{3+V}{\delta} \right) (1-V) \\ &= (1-V) \left(R_2 - \frac{3+V}{\delta} \rho \omega^2 b^2 \right) \end{aligned}$$

$$R_2' = \left(R_2 - \frac{3+V}{\delta} \rho \omega^2 b^2 \right) \cdot \frac{a^2 b^2 (V-1)}{b^2 (1+V) + a^2 (1-V)}$$

IV-1

Formule geldt voor $r=a$:

$$\overline{\sigma}_r' = \frac{1}{m} \overline{\sigma}_r$$

Von schijf II gelat:

$$\overline{\sigma}_r = P_2' \left(\frac{1}{r^2} - \frac{1}{b^2} \right) - \rho \omega^2 / \left(\frac{3+\nu}{\delta} \right) / (r^2 - b^2)$$

Von $r=a$

$$\overline{\sigma}_r'(a) = \frac{1}{m} \overline{\sigma}_r(a) = P_2' \left(\frac{1}{a^2} - \frac{1}{b^2} \right) - \frac{3+\nu}{\delta} \rho \omega^2 / (a^2 - b^2)$$

$$P_2' = \left[\frac{1}{m} \overline{\sigma}_r(a) + \frac{3+\nu}{\delta} \rho \omega^2 / (a^2 - b^2) \right] \cdot \frac{a^2 b^2}{b^2 - a^2} \quad \text{II-2}$$

Met gelijktrekken van II-1 en II-2 volgt:

$$\left(P_2 - \frac{3+\nu}{\delta} \rho \omega^2 b^2 \right) \cdot \frac{a^2 b^2}{b^2 (1+\nu) + a^2 (1-\nu)} = \left[\frac{1}{m} \overline{\sigma}_r(a) + \frac{3+\nu}{\delta} \rho \omega^2 / (a^2 - b^2) \right] \cdot \frac{a^2 b^2}{b^2 - a^2}$$

$$\frac{A_r(V-1)}{b^2 (1+\nu) + a^2 (1-\nu)} = \left\{ \frac{1}{m} \overline{\sigma}_r(a) + \frac{3+\nu}{\delta} \rho \omega^2 / (a^2 - b^2) \right\} \frac{1}{b^2 - a^2} + \\ + \frac{3+\nu}{\delta} \rho \omega^2 b^2 \left(\frac{V-1}{b^2 + a^2 + \nu / (b^2 - a^2)} \right)$$

→

$$A_r = \left\{ \frac{1}{m} \overline{\sigma}_r(a) + \frac{3+\nu}{\delta} \rho \omega^2 / (a^2 - b^2) \right\} \left\{ \frac{b^2 (1+\nu) + a^2 (1-\nu)}{(V-1) / (b^2 - a^2)} \right\} + \frac{3+\nu}{\delta} \rho \omega^2 b^2 \quad \text{II-3}$$

Vandaar gelat van schijf I voor $r=a$:

$$\overline{\sigma}_r(a) = A_r - \frac{3+\nu}{\delta} \rho \omega^2 a^2 \quad \text{II-4}$$

Substitueren II-4 in II-3

$$P_1 = \left\{ \frac{1}{m} A_1 - \frac{3+V}{\delta m} \rho \omega^2 a^2 + \frac{3+V}{\delta} \rho \omega^2 (a^2 - b^2) \right\} \left\{ \frac{b^2(1+V) + a^2(1-V)}{(V-1)/(b^2-a^2)} \right\} + \frac{3+V}{\delta} \rho \omega^2 b^2$$

$$\left[1 - \frac{1}{m} \left\{ \frac{b^2+a^2}{(V-1)/(b^2-a^2)} + \frac{V}{V-1} \right\} \right] = \frac{3+V}{\delta} \rho \omega^2 \left[(a^2 - b^2 - \frac{a^2}{m}) \right] \left[\frac{b^2+a^2}{(V-1)/(b^2-a^2)} + \frac{V}{V-1} \right] + \frac{3+V}{\delta} \rho \omega^2 b^2$$

$$\text{Stel } \frac{b^2+a^2}{(V-1)/(b^2-a^2)} + \frac{V}{V-1} = q$$

$$\Rightarrow P_1 = \frac{3+V}{\delta} \rho \omega^2 \left[(a^2 - b^2 - \frac{a^2}{m}) q + b^2 \right] \cdot \frac{m}{m-q}$$

Stel nu verder:

$$f_1(m) = \left\{ \left(\frac{ma^2 - mb^2 - a^2}{m} \right) q + b^2 \right\} \cdot \frac{m}{m-q}$$

$$\Rightarrow P_1 = \frac{3+V}{\delta} \rho \omega^2 f_1(m)$$

De spanningssverdeling is schijf I want dan:

$$\sigma_r = P_1 - \frac{3+V}{\delta} \rho \omega^2 r^2$$

$$\sigma_\theta = P_1 - \frac{1+3V}{\delta} \rho \omega^2 r^2$$

Hierbij is P_1 een grootheid die alleen afhangt van de dimensie van de schijf en van zijn lastdistributie.

$$\sigma_r = \frac{3+V}{\delta} \rho \omega^2 \left\{ f_1(m) - r^2 \right\}$$

$$\sigma_\theta = \frac{3+V}{\delta} \rho \omega^2 f_1(m) - \frac{1+3V}{\delta} \rho \omega^2 r^2$$

Spanningsverdeling van schijf I
monogat is het middelen

$$0 \leq r \leq a$$

Voor deel II geldt:

$$P_2' = \left\{ P_1 - \frac{3+V}{\rho} \rho \omega^2 b^2 \right\} \left\{ \frac{a^2 b^2 (V-1)}{a^2 + b^2 + V(b^2 - a^2)} \right\}$$

$$P_2' = \frac{3+V}{\rho} \rho \omega^2 \left[f_1(m) - b^2 \right] \cdot \left\{ \frac{a^2 b^2 (V-1)}{a^2 + b^2 + V(b^2 - a^2)} \right\}$$

$$\text{Stel nu } f_1(m) = \left\{ f_1(m) - b^2 \right\} \left\{ \frac{a^2 b^2 (V-1)}{a^2 + b^2 + V(b^2 - a^2)} \right\}$$

$$\Rightarrow P_2' = \frac{3+V}{\rho} \rho \omega^2 f_1(m)$$

De spanningen in deel II zijn dan:

$$\sigma_r = \frac{3+V}{\rho} \rho \omega^2 \left\{ f_1(m) \left(\frac{1}{r^2} - \frac{1}{b^2} \right) - (r^2 - b^2) \right\}$$

$$\sigma_\theta = - \frac{3+V}{\rho} \rho \omega^2 f_1(m) \left\{ \frac{1}{r^2} + \frac{1}{b^2} \right\} - \rho \omega^2 \left\{ \frac{1+3V}{\rho} r^2 - \frac{3+V}{\rho} b^2 \right\}$$

Geldt voor

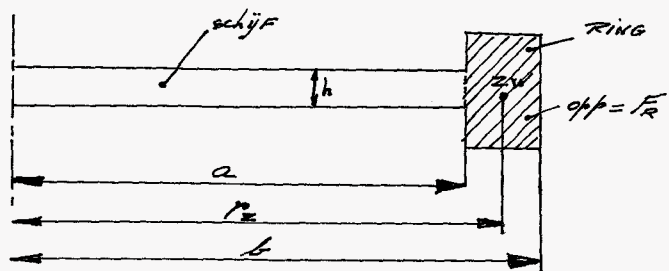
$a < r \leq b$

≠

IV

Een eenvoudige benadering van het probleem

We beschouwen nu het geval dat de ring waarlijk als ring opgewerkt kan worden. Dit geldt als de ring aan alle voorwaarden voldoet dat $\frac{b-a}{b} \ll 1$

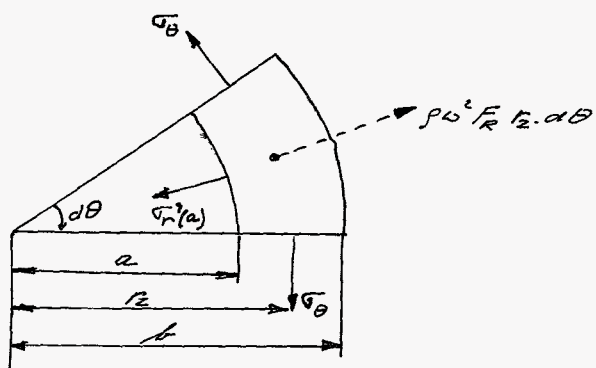


Gelucht wordt nu naar de radiale spanning $\sigma_r(a)$ aan de buitenrand van de schijf om als 1^e benadering waarde de algemene spanningssituatie in de schijf te berekenen.

Het oomsnelheidsoptrekken van de ring is $F_R = (b-a) \cdot m \cdot b$.

De staal r_2 is de afstand van het neutrale punt van de ring tot de rotatiesas.

Beschouw nu het radiale gewicht van een ringelement met een breedtehoek $d\theta$



Het radiale evenwicht is:

$$m \cdot \bar{\sigma}_r'(a) \cdot a \cdot d\theta + \bar{\sigma}_r \cdot F_r \cdot a \cdot d\theta = \rho \omega^2 F_r a \cdot r_2^2 \quad II-1$$

Hierbij is $\bar{\sigma}_r$ de gemiddelde waarde van de tangentiële spanning in de ring.

De radiale spanning in de schijf is aan de rand $\sigma_r(a)$. Bij de overgang van de schijf op de ring valt de radiale spanning t.g.v. de verhouding van de ring van $\sigma_r(a)$ tot $\sigma_r'(a)$ en het volgt dat geldt: $\sigma_r(a) = m \cdot \bar{\sigma}_r'(a)$

Daar het product $r_2 \cdot F_r$ van verschillende grootheden is als $a \cdot F_r$ mag congeven worden dat de waarde van $\bar{\sigma}_r'(a)$ niet alleen heel verschillt met $\bar{\sigma}_r$ dat de gemiddelde waarde van de radiale spanning van de ring is, dus $\sigma_r'(a) \leq \bar{\sigma}_r$

$$\Rightarrow \bar{\sigma}_r = \frac{1}{m} \sigma_r(a) \quad II-2$$

Met deze gemiddelde waarde van $\bar{\sigma}_r$ en $\bar{\sigma}_r'$ kan de gemiddelde vergroting van r_2 bepaald worden.

$$\text{nl. } \bar{u}_2 = \frac{r_2}{E} / (\bar{\sigma}_r - \nu \bar{\sigma}_r') \quad II-3$$

Dit geeft met behulp van II-1 en II-2 :

uit II-1 volgt:

$$\bar{\sigma}_r = \rho \omega^2 r_2^2 - m \cdot \bar{\sigma}_r'(a) \cdot \frac{a}{F_r} = \rho \omega^2 r_2^2 - m \cdot \bar{\sigma}_r \cdot \frac{a}{F_r} = \rho \omega^2 r_2^2 - k \sigma_r(a) \cdot \frac{a}{F_r}$$

dit resultaat in II-3

$$\bar{u}_2 = \frac{r_2}{E} \left[\rho \omega^2 r_2^2 - \sigma_r(a) \left(\frac{b \cdot a}{F_r} + \frac{\nu}{m} \right) \right]$$

Aan de andere kant is de lengteafstand l_p van de schijf bij $r=a$ door de vergelijking:

$$U_p = \frac{a}{E} \left[P(1-\nu) - \frac{\nu-1}{4} \rho \omega^2 a^2 \right] \text{ bekend.}$$

Bepaling van P :

$$\Gamma_p = P - \frac{3+V}{\delta} \rho \omega^2 r^2$$

van $r=a$ dan $\Gamma_p = \Gamma_p(a)$

$$\Gamma_p(a) = P - \frac{3+V}{\delta} \rho \omega^2 a^2 \Rightarrow P = \Gamma_p(a) + \frac{3+V}{\delta} \rho \omega^2 a^2$$

Dan:

$$U_p(a) = \frac{a}{E} \left[(1-\nu)(\Gamma_p(a) + \frac{3+V}{\delta} \rho \omega^2 a^2) - \frac{\nu-1}{4} \rho \omega^2 a^2 \right]$$

$$U_p(a) = \frac{a}{E} \left[(1-\nu) \Gamma_p(a) - \frac{1}{\delta} (V+5)/(V-1) \rho \omega^2 a^2 \right]$$

Daan alle hebben boven alle reig in radiale richting een grote stijfheid heeft dan mag men aannemen dat de radiale trekking van reig heel klein is d.w.z. dat het verschil van $r_2 - a$ bij de verandering van reig zo goed als hetzelfde blijft. Men mag dan als eerste benadering aannemelen dat $U_2 = U_p(a)$

→

$$\frac{r_2}{E} \left[\rho \omega^2 r_2^2 - \Gamma_p(a) \left(\frac{h_a}{F_R} + \frac{\nu}{m} \right) \right] = \frac{a}{E} \left[(1-\nu) \Gamma_p(a) - \frac{1}{\delta} (V+5)/(V-1) \rho \omega^2 a^2 \right]$$

$$\Gamma_p(a) \left[\frac{h_a}{F_R} + \frac{\nu}{m} + \frac{a}{r_2} (1-\nu) \right] = \omega^2 \left[\rho r_2^2 + \frac{1}{\delta r_2} (V+5)/(V-1) \rho a^2 \right]$$

→

$$\Gamma_p(a) = \frac{\rho \omega^2 \left[r_2^2 + \frac{1}{\delta r_2} (V+5)/(V-1) a^2 \right]}{\frac{h_a}{F_R} + \frac{\nu}{m} + \frac{a}{r_2} (1-\nu)} \quad \text{I-4}$$

$$\text{met } F_R = (b-a).m.b \quad \text{en } r_2 = a + \frac{(b-a)}{2} = \frac{a+b}{2}$$

Die is dus de gewenste uitdrukking van $\sigma_r(a)$ als functie van de dimensie van de ring.

De spanningen in de schijf worden dan:

II-5

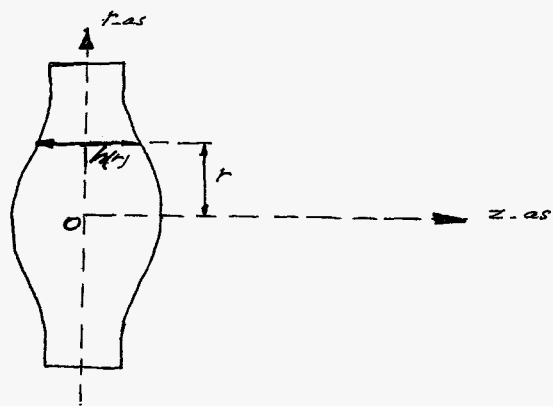
$$\sigma_r = \sigma_r(a) + \frac{3+V}{\delta} \rho \omega^2 a^2 - \frac{3+V}{\delta} \rho \omega^2 r^2 = \sigma_r(a) + \frac{3+V}{\delta} \rho \omega^2 / (a^2 - r^2)$$

$$\sigma_\theta = \sigma_r(a) + \frac{3+V}{\delta} \rho \omega^2 a^2 - \frac{1+3V}{\delta} \rho \omega^2 r^2 = \sigma_r(a) + \rho \omega^2 / \frac{3+V}{\delta} a^2 - \frac{1+3V}{\delta} r^2$$

~~σ_r~~

III Afleiding van de methode van Grammel over uitzoeken
van het principe der minimale potentiële energie

We beperken ons nu tot reeds eerder in verband gebrachte rotatorisch symmetrische objecten waarvan de dichte verschillend een functie van de afstand is



Als coördinaten nemen we cilindrische coördinaten met als afstand r en hoek θ . Doveldelt op het alak door r en θ nemen we de z -as

Namen de verplaatsingen in resp. r , θ en z -richting
 u_r , v_θ en w_z

Dan geldt:

$$u_r = u(r)$$

$$v_\theta = v(r)$$

$$w_z = w(z)$$

Gem. functie van θ a.g.v. de rotatie-symmetrie

$$\therefore \frac{\partial}{\partial \theta} \equiv 0$$

De verplaatsingen van het rotatiedoelpunt O zijn niet genomen daar de verplaatsing van het lichaam als alak gehalveert geen belang is; $u_0 = v_0 = w_0 = 0$

Verder kan opgemerkt worden dat de verplaatsing in de r -richting dus W_{rz} de verwaarlozen klein is t.o.v. W_r omdat de schijf dan is in vergelijking met zijn diameter. Met ons verplaatsingsveld kunnen we vervolgens het herstelingsveld bepalen. Dit is reeds gedaan op bladz.

$$\begin{array}{l|l} E_r = \frac{\partial U_r}{\partial r} & \text{De bijdrage van } E_r = \frac{\partial U}{\partial r} \text{ van de hankeling} \\ E_\theta = \frac{U_r}{r} & \text{van de elastische energie maken we weg, maar} \\ E_z = \frac{\partial W}{\partial z} & \text{met de steun specificeren we kleine} \\ & \text{schijfdekken.} \end{array}$$

Van de lastveranderingen beschouwen we:

$$\begin{array}{l|l} f_{r0} = \frac{\partial V_0}{\partial r} - \frac{V_0}{r} & \text{Met } \frac{\partial}{\partial r} = \dots \\ f_{rz} = \frac{\partial U_r}{\partial z} + \frac{\partial W}{\partial r} = 0 & \\ f_{z0} = \frac{\partial V_0}{\partial z} = 0 & \end{array}$$

Met de gevonden E 's en f 's gaan we de elastische energie berekenen

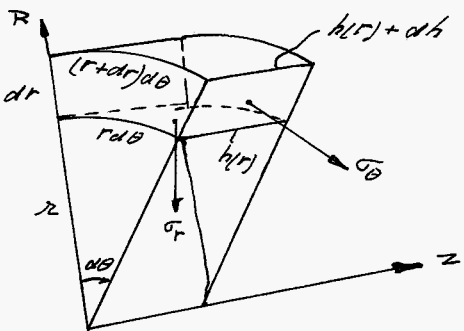
E = elastische energie van de schijf.

V = volume van de schijf.

Door de gevolge van de symmetrie E_r moet nu niet zijn gelakt dus ook $\frac{\partial V_0}{\partial r} - \frac{V_0}{r} = 0$

\Rightarrow De bijdrage van de afhankelijkheid van de elastische energie is dus nul.

$$P_r = P_z$$



Voor de bepaling van de elastische energie nemen we als enige benadering gewobledens van de eerste orde. Danen als $(dh)^2 \ll dr^2$ enz. verwaarlozen we.

De definitie van elastische energie leidt in formule:

$$\Pi = \frac{1}{2} \sum_i \epsilon_i u_i$$

Vandaar geldt:

$$\sigma_r = \frac{E_r}{1-\nu^2} (\epsilon_r + \nu \epsilon_\theta) \quad \text{en} \quad \epsilon_r = \frac{du_r}{dr} = \dot{u}_r$$

$$\sigma_\theta = \frac{E_\theta}{1-\nu^2} (\epsilon_\theta + \nu \epsilon_r) \quad \epsilon_\theta = \frac{\dot{u}_\theta}{r}$$

$$\Rightarrow \left. \begin{array}{l} \sigma_r = \frac{E_r}{1-\nu^2} \left(\dot{u}_r + \nu \frac{\dot{u}_\theta}{r} \right) \\ \sigma_\theta = \frac{E_\theta}{1-\nu^2} \left(\frac{\dot{u}_\theta}{r} + \nu \dot{u}_r \right) \end{array} \right\} \quad \text{VI-1}$$

$$d\Pi = \frac{1}{2} \sigma_r \cdot h r d\theta dr \cdot \dot{u}_r + \frac{1}{2} \sigma_\theta \cdot h dr \cdot r d\theta \cdot \frac{\dot{u}_\theta}{r} = \frac{1}{2} h r d\theta dr (\sigma_r \cdot \dot{u}_r + \sigma_\theta \cdot \frac{\dot{u}_\theta}{r})$$

$$= \frac{1}{2} h r d\theta dr \left(\dot{u}_r^2 + 2\nu \frac{\dot{u}_r \dot{u}_\theta}{r} + \frac{\dot{u}_\theta^2}{r^2} \right) \frac{E}{1-\nu^2}$$

Voor de gehele schijf geldt:

$$\Pi = \frac{E}{2(1-\nu^2)} \int_V \left(\dot{u}_r^2 + \frac{\dot{u}_\theta^2}{r^2} + 2\nu \frac{\dot{u}_r \dot{u}_\theta}{r} \right) dV = \frac{E}{2(1-\nu^2)} \int_V \left(\dot{u}_r^2 + \frac{\dot{u}_\theta^2}{r^2} + 2\nu \frac{\dot{u}_r \dot{u}_\theta}{r} \right) h r d\theta dr$$

Om te gelas dat de opheldende functie U op de symmetrie in constructie en belasting alleen een functie van r dus $U_r = U(r)$. De integraal kan dan hetgeen daadwerks onmiddellijk opgelost worden.

$$\Rightarrow P = \frac{2\pi E}{2(1-\nu^2)} \int_0^a \left(\dot{u}^2 + \frac{u^2}{r^2} + 2\nu \frac{u_r u}{r} \right) h r dr$$

Om een uitdrukking voor de potentiële energie te vinden, moeten we P vermenigvuldigen met een term, die bestaat uit de som van alle belastingsgrootheden vermenigvuldigd met de verplaatsing van hun aantrekkeingspunt. Deze term noemen we:

$$W = \int_V \left(\dot{f}_i - \nu \frac{dU_i}{dr} \right) U_i dV - \int_{H^2} \vec{p}_i \cdot \vec{u}_i dA$$

Wij hebben alleen maar te maken met volume haarden t.g.v de rotatie. Andere belastingshaarden zijn er niet.

$$\begin{aligned} W &= \int_V \rho \omega^2 r \cdot U dV = \iiint \rho \omega^2 r \cdot U \cdot r d\theta dr dh \\ &= \int_0^{2\pi} \rho \omega^2 d\theta \int_0^a r^2 U h dr = 2\pi \rho \omega^2 \int_0^a r^2 U h dr \end{aligned}$$

Voor de uitwendige uitdrukking van de potentiële energie vinden we dus $V = P - W$

$$V = \frac{2\pi E}{2(1-\nu^2)} \cdot \int_0^a h r \left[\dot{u}^2 + \frac{u^2}{r^2} + 2\nu \frac{u_r u}{r} \right] dr - 2\pi \rho \omega^2 \int_0^a r^2 U h dr \quad II-2$$

—————

III

Afleiden der differentiaalvergelijkingen door variëren

Dan te variëren vinden we niet de uitdrukking voor de potentiële energie die differentiaalvergelijking moet leveren dynamische randvoorwaarden voor alle onbelaste geometrieën. Daarom schrijven we: $V = V(u)$

$$V(u) = \frac{\pi E}{1 - v^2} \int_0^a h r f \left[\dot{u}^2 + \frac{u^2}{r^2} + 2v \frac{u}{r} \cdot \ddot{u} \right] dr - 2\pi \rho w^2 \int_0^a r^2 h u dr.$$

Als nu u de juiste oplossing is wordt nu van een andere functie genomen. Voorwaardelijke dat geldt:

$$\bar{u} = u + \epsilon, \bar{u}^* = u^* + \epsilon^*$$

Gelijkg is \bar{u}^* een functie van r die volstaat aan alle geometrische randvoorwaarden. Dan kan $V=0$ dan $\bar{u}^*=0$ en ϵ is een willekeurig getal.

Dan is

$$\bar{V} = \frac{\pi E}{1 - v^2} \int_0^a h r f \left[\dot{\bar{u}}^2 + \frac{\bar{u}^2}{r^2} + 2v \frac{\bar{u}}{r} \cdot \ddot{\bar{u}} \right] dr - 2\pi \rho w^2 \int_0^a r^2 h \bar{u} dr$$

$$\begin{aligned} \bar{V} = & \frac{\pi E}{1 - v^2} \int_0^a h r f \left[(\dot{u} + \epsilon \dot{u}^*)^2 + \left(\frac{u + \epsilon u^*}{r} \right)^2 + 2v \left(\frac{u + \epsilon u^*}{r} \right) (\dot{u} + \epsilon \dot{u}^*) \right] dr \\ & - 2\pi \rho w^2 \int_0^a r^2 h (u + \epsilon u^*) dr \end{aligned}$$

\bar{V} moet minimaal zijn voor $\epsilon = 0$ als geldt:

$$\left(\frac{\partial \bar{V}}{\partial \epsilon} \right)_{\epsilon=0} = 0$$

$$0 = \frac{IE}{1-v^2} \int_0^a hr \left\{ i \dot{u} \dot{u}^* + \frac{2u \dot{u}^*}{r^2} + 2v \left(\frac{\dot{u}}{r} \cdot \dot{u} + \dot{u}^* \cdot \frac{u}{r} \right) \right\} dr - 2\pi \rho w^2 \int_0^a r^2 h \dot{u}^* dr$$

Naar de uitdrukking van de rechterkant in de volgende vorm:

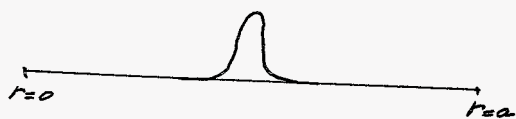
$$\stackrel{!}{=} \int_0^a i \dot{u}^* rh dr = \int_0^a i rh d(\dot{u}^*) = i rh \dot{u}^* \Big|_0^a - \int_0^a \dot{u}^* d(i rh \dot{u})$$

$$\stackrel{!}{=} \int_0^a \frac{i \dot{u}^* u}{r} \cdot rh dr = \int_0^a u h d(\dot{u}^*) = u h \dot{u}^* \Big|_0^a - \int_0^a \dot{u}^* d(u h \dot{u})$$

Dus leidt volgt:

$$0 = \frac{E}{1-v^2} \left\{ i rh \dot{u}^* \Big|_0^a - \int_0^a \dot{u}^* d(i rh \dot{u}) + \int_0^a \frac{u^* u h}{r} dr + v \left[u^* u h \Big|_0^a - \int_0^a \dot{u}^* d(u h \dot{u}) + \int_0^a i \dot{u}^* h dr \right] \right\} - \int_0^a g w^2 r^2 h dr \quad \text{III-1}$$

We gelat van \dot{u}^* als geometrische randvoorwaarde dat men voor $\dot{u}^*(0) = 0$ neemt. Vader gelat daarvan dat \dot{u}^* willekeurig kan zijn. Kies daarom voor \dot{u}^* nochtans een functie dat gelat dat $\dot{u}^*(a) = 0$



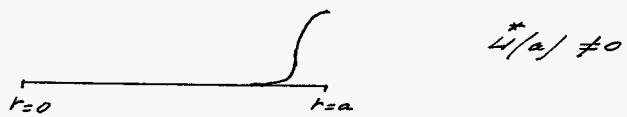
Dan:

$$0 = \frac{E}{1-v^2} \left\{ - \int_0^a \dot{u}^* d(i rh \dot{u}) + \int_0^a \frac{u^* u h}{r} dr - v \int_0^a \dot{u}^* d(u h \dot{u}) + v \int_0^a i \dot{u}^* h dr - \int_0^a g w^2 r^2 h dr \right\}$$

Dus da moet van alle + gelden:

$$\frac{E}{1-v^2} \left\{ \frac{d}{dr} (r h \dot{u}^*) - \frac{u h}{r} + v \left(\frac{d}{dr} (u h \dot{u}^*) - i h \dot{u}^* \right) \right\} + g w^2 r^2 h = 0 \quad \text{III-2}$$

Kunnen van \hat{u}^* een functie van de vorm



Dus alle kijlkrommen \hat{u}^* met $\hat{u}'(a) \neq 0$ geft:

$$0 = \frac{d}{dr^2} \left\{ \hat{u}(a) \cdot a \cdot h \hat{u}'(a) + V \hat{u}(a) \cdot h \right\}$$

\Rightarrow voor $r=a$ geldt

$$\hat{u}'(a) + V \cdot h = 0 \Rightarrow \hat{u}'(a) = -V \frac{h(a)}{a} \quad \text{III. -3}$$

Dit is de dynamische randvoorwaarde van het probleem.

Die toepassing van alle wetten moet worden om vergetwijfelden

III. 2-2 en III. 2-3

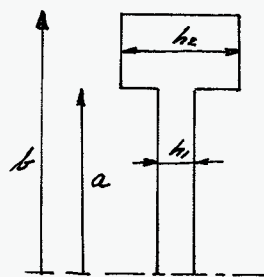
$$\frac{d}{dr} \left\{ \frac{\alpha}{r^2} \left(T_h E_p + V r h E_p \right) - h E_p - h E_p f + \rho \omega^2 r^2 h \right\} = 0$$

$$\Rightarrow \frac{d}{dr} \left(T_p \cdot f \cdot h \right) - h \overline{E_p} + \rho \omega^2 r^2 h = 0 \quad \text{III. -4}$$

$$\text{Voor } r=a \Rightarrow \overline{E_p} + V \overline{E_p} = 0 \text{ also } \overline{E_p} = 0 \quad \text{III. -5}$$

$\not\models$

III Deschijf bestaande uit twee delen met constante niet gelijke dikte



Aanbieden alle dimensies van de ring en schijf in vgl. III.2-1
en kies van \bar{u}

$$\dot{\bar{u}}(0) = \dot{\bar{u}}(a) = \dot{\bar{u}}(b) = 0 ; \quad \dot{\bar{u}}(r) = \text{geometrische randvoorwaarde.}$$

$$\begin{aligned} \left(\frac{\partial \bar{U}}{\partial r} \right)_{r=0} = 0 &= \frac{E}{1-\nu^2} \left\{ - \int_0^a \bar{u}_1 \alpha(rh_1, \bar{u}) - \int_a^b \bar{u}_2 \alpha(rh_2, \bar{u}) + \int_0^a \frac{\bar{u}_1}{r} h_1 dr + \right. \\ &+ \int_a^b \frac{\bar{u}_2}{r} h_2 dr - r \int_0^a \bar{u}_1 \alpha(uh_1) - r \int_a^b \bar{u}_2 \alpha(uh_2) + r \int_0^a \bar{u}_1 \alpha(h_1) dr + \\ &\left. + r \int_a^b \bar{u}_2 \alpha(h_2) dr \right\} - \int_0^a \bar{u}_1 \rho \omega^2 r^2 h_1 dr - \int_a^b \bar{u}_2 \rho \omega^2 r^2 h_2 dr \end{aligned}$$

Dus dan moet van elke r gelden:

$$0 \leq r \leq a$$

$$\frac{E}{1-\nu^2} \left\{ - \frac{\alpha}{dr} (rh_1) + \frac{\alpha}{r} \right\} - \rho \omega^2 r^2 = 0 \quad \text{III-1}$$

$$a \leq r \leq b$$

$$\frac{E}{1-\nu^2} \left\{ - \frac{\alpha}{dr} (rh_2) + \frac{\alpha}{r} \right\} - \rho \omega^2 r^2 = 0 \quad \text{III-2}$$

Kunnen van \bar{u} een functie dat geldt: $\dot{\bar{u}}(b) = 0$ en $\dot{\bar{u}}(a) \neq 0$

voor $r=a$:

$$0 = \frac{E}{1-\nu^2} \left\{ \int_0^a i \bar{u} rh_1 \bar{u}' \Big|_0^a + i \bar{u} rh_2 \bar{u}' \Big|_a^b + \nu \bar{u} rh_1 \bar{u}' \Big|_0^a + \nu \bar{u} rh_2 \bar{u}' \Big|_a^b \right\}$$

$$0 = (i \bar{u} rh_1)_a - (i \bar{u} rh_2)_a + (\nu \bar{u} rh_1)_a - (\nu \bar{u} rh_2)_a = 0$$

Het nu weer: $h_2 = h_1 + \Delta h$

$$u_2 = u_1 + \Delta u$$

→

$$\begin{aligned} i_r t_h - i_r t_h - s_i r h - i_r t sh - s_i t sh + v_{t h} - v_{t h} - v_{au h} - \\ - v_{t sh} - v_{au sh} = 0 \end{aligned}$$

$$- s_i(t_h + t sh) - i_r t sh - v_{au(h + sh)} - v_{t sh} = 0$$

Hieruit volgt met uitlegging van de letters

$$\Delta E_r + v \Delta E_0 = - \frac{sh}{h + sh} (E_r + v E_0)$$

Met de wetten Hooke leidt uit

$$\Delta \sigma_r = - \frac{sh}{h + sh} \cdot \sigma_r \quad \text{DII-3}$$

Dit voorbeeld is de dynamiische randtoewaarde voor $t=a$

De geometrische randtoewaarde voor $t=a$ is natuurlijk dat moet gelden dat de radiale verplaatsing u van de twee delen deselfde is bij de overgang.

Wat valt nu voorwaarde DII-3 voor?

$$\Delta \sigma_r (h + sh) + \sigma_r sh = 0$$

Sommer bij deze uitlegging de grootte h/σ_r →

$$(h + sh)/(\sigma_r + \Delta \sigma_r) = h/\sigma_r \quad \text{DII-4.}$$

Conclusie

De sprongverandering van de dwille sh en die van de radiale spanning $\Delta \sigma_r$ bij overgang van de twee delen moet voorzien zijn dat de radiale hechtper lochcentris van de gemeinschaftelijke rand constant is.

Bij de keuze van $i_r(a)=0$ en $i_r(b) \neq 0$ volgt uit

$$i_r(b) = - v \frac{u_{t b}}{f} \rightarrow \sigma_r(b) = 0$$

Wanneer dan de profielwending teruggehaald is dan
laten zich alle vergelijkingen

$$d(T_r \cdot r \cdot h d\theta) - T_\theta \cdot h \cdot dr d\theta + \rho w^2 r^2 h \cdot dr d\theta = 0$$

$$r \cdot r \left(\frac{dT_r}{dr} - \frac{1}{r} \frac{dT_\theta}{dr} \right) + \left(\frac{1}{r} + \frac{1}{r^2} \right) (T_r - T_\theta) = 0$$

van de twee spanningen T_r en T_θ in het algemeen niet in een gesloten vorm oplossen. We gebruiken dan de benaderingsmethode van "Gauß met" zoals die lastoer is opgeleid.

Men bewaagt dat het huidige schipprofiel door een hoofdronde benadering in dat soortenzelf dat de schip opgebouwd gedacht kan worden alsoen rechthoekige deelvlakken die niet op zich een horizontale omtrek hebben.

Van elk van deze deelvlakken gelden alle vergelijkingen:

$$\left. \begin{aligned} T_r &= P_1 + \frac{P_2}{r^2} - \frac{3+V}{\rho} \rho w^2 r^2 \\ T_\theta &= P_1 - \frac{P_2}{r^2} - \frac{1+3V}{\rho} \rho w^2 r^2 \end{aligned} \right\} \text{VIII-5}$$

Hierbij hebben de constanten P_1 en P_2 van deelvlak I deelvlak II andere waarden.

Vast men een nieuwe secundairepte $x = \frac{r}{r_2}$ in en een nieuwe spanningswaarde m.d.

$$s = T_r + \alpha w^2 r^2 \quad \text{en} \quad t = T_\theta + \beta w^2 r^2 \quad \text{VIII-6}$$

Hierbij geldt

$$\alpha = \frac{3+V}{\rho} \cdot \beta \quad \text{en} \quad \beta = \frac{1+3V}{\rho} \cdot \beta \quad \text{VIII-7}$$

De vergelijking VIII-5 komt dan:

$$s = P_1 + P_2 x \quad \text{en} \quad t = P_1 - P_2 x \quad \text{VIII-8}$$

Is nu b.v. van een verschijf aan de buitenrand t_i alle spanningen σ_i en τ_{ij} bekend, dan kan men volgens vgl. VIII-6 ook de waarden s_i en t_{i+1} aan de buitenrand bepalen.

Volgen kan men de waarden s_{i+1} en t_{i+1} aan de binnenrand van de verschijf berekenen uit VIII-8
dit gaat als volgt:

Men bepaalt eerst uit $s_i = \sigma_i + \tau_{ij} x_i$ en $t_i = \sigma_j - \tau_{ij} x_i$ alle constanten σ_i en τ_{ij}

$$s_i + t_i = x \sigma_i \Rightarrow \sigma_i = \frac{s_i + t_i}{x}$$

$$s_i - t_i = x \tau_{ij} x_i \Rightarrow \tau_{ij} = \frac{s_i - t_i}{x x_i}$$

Dit in VIII-8 levert:

$$s_{i+1} = \sigma_i + \tau_{ij} x_{i+1}$$

$$t_{i+1} = \sigma_j - \tau_{ij} x_{i+1}$$

→

$$\begin{aligned} s_{i+1} &= \frac{s_i + t_i}{x} + \frac{s_i - t_i}{x x_i} \cdot x_{i+1} \\ &= s_i - \left(\frac{s_i - t_i}{x x_i} \right) x_i + \frac{s_i - t_i}{x x_i} \cdot x_{i+1} \\ &= s_i + \left(\frac{x_{i+1} - x_i}{x x_i} \right) / (s_i - t_i) \end{aligned}$$

$$\text{Stel nu } \varrho = \left(\frac{x_{i+1} - x_i}{x x_i} \right) / (s_i - t_i)$$

$$\Rightarrow s_{i+1} = s_i + \varrho \quad \text{VIII-9}$$

$$t_{i+1} = \frac{s_i + t_i}{x} - \frac{s_i - t_i}{x x_i} \cdot x_{i+1}$$

$$= t_i - \left(\frac{x_{i+1} - x_i}{x x_i} \right) / (s_i - t_i)$$

$$\Rightarrow t_{i+1} = t_i - \varrho \quad \text{VIII-10}$$

Om van de ene deelschijf naar de volgende over de kantmening gaan moet men zoals is afgeleid een sprong in de spanningen doen. De tussen dezen moet dus een functie zijn van de enkele verandering Δh . Bij een sprongverandering van Δh moet uiteraard ook de spanning σ_r en σ_g in σ_{r_p} en σ_{g_p} waarbij natuurlijk $\Delta \sigma_r^2 + \Delta \sigma_g^2$ constant blijft overgaan. Bij de overgang van twee deelschijven hebben we twee voorwaarden gevonden. Deze waren:

1. De sprongverandering van de enkele Δh is een van de radiale spanning σ_r moet toelatingsvijfijn dat de radiale kracht per laag een beetje om een gemeinschappelijke waarde constant is.
2. Bij de gemeinschappelijke rand van twee deelschijven behouden alle krachten hun waarde lang d.w.z. dat de radiale verplaatsing van en na de sprong dezelfde is. Daar twee voorwaarden houden in dat moet gelden.

$$\frac{\sigma_r}{\sigma_{r_p}} = (\text{hoek}h) / (\sigma_r + \Delta \sigma_r) \quad \rightarrow \quad \Delta \sigma_r = - \frac{\Delta h}{h + \Delta h} \cdot \sigma_r$$

$$\frac{\sigma_g}{\sigma_{g_p}} = \left\{ \frac{\sigma_g + \Delta \sigma_g - v(\sigma_r + \Delta \sigma_r)}{\sigma_g} \right\}$$

$$\Rightarrow \Delta \sigma_g = v \Delta \sigma_r \quad \text{VIII-11}$$

uit VIII-6

$$\sigma_r + \Delta \sigma_r = \sigma_r + \Delta \sigma_r + \Delta \omega r^2$$

$$\Rightarrow \Delta \sigma = \Delta \sigma_r$$

$$\text{Dus } \Delta \sigma = - \frac{\Delta h}{h + \Delta h} \cdot \sigma_r \quad \text{VIII-12}$$

uit vogt VIII-11 volgt:

$$\Delta \sigma_g = v \sigma_r \quad \rightarrow \quad \Delta \sigma_g = \Delta t = v \Delta \sigma \quad \text{VIII-13}$$

Samenvatting

De uiteindelijke gesloten vorm van de willekeurige profiel en spanningen
 σ en τ moet volgen zijn:

$$x = \frac{t}{\rho^2}$$

$$\sigma = \sigma_0 + \alpha \omega^2 t^2 ; \quad t = t_0 + \beta \omega^2 \rho^2$$

$$\beta = \frac{\delta W}{\rho} \quad ; \quad \beta = \frac{W_0}{\rho}$$

Bij uitzetting:

$$\Delta s = - \frac{\Delta h}{h+\Delta h} \cdot \sigma_0 ; \quad \Delta t = \nu \Delta s ; \quad \overset{*}{s} = s + \Delta s ; \quad \overset{*}{t} = t + \Delta t$$

$$q = \frac{x_{i+1} - x_i}{2x_i} / (s_i - t_i) \quad ; \quad \xi = \frac{x_{i+1} - x_i}{2x_i}$$

$$\gamma = - \frac{\Delta h}{h+\Delta h}$$

$$s_{i+1} = s_i + q \quad ; \quad t_{i+1} = t_i - q.$$

Dit systeem moet beregnet op de massieve schijf die geen belonings
 heeft aan de buitenrand. De voorwaarde voor $t=0$ is dat de
 spanning σ_0 en t_0 van elkaar gelijk moeten zijn.

Dan volgt hieruit dat $s=\sigma_0$ en $t=t_0$ en dan voor $t=0$ gelat $s=t$.
 Men begin dan van de positie van de schijf in het punt
 $t=0$ ofwel $x=\infty$. Omdat de spanningen in $t=0$ niet bekend
 zijn neemt men een willekeurige waarde voor $\sigma_0 = \sigma_0'$ en een
 willekeurige $t_0 = t_0'$.

Om alle eerste uitzetting voorwaarden gelat

$$\xi = \frac{x_{i+1} - x_i}{2x_i} = \frac{x_{i+1}}{2x_i} - \frac{1}{2} \Rightarrow \xi = -\frac{1}{2} \text{ voor } x_i = \infty \text{ en dan } \xi' = 0$$

Met behulp van de boven genoemde formules kan men dan de spanningen in alle doortrekken berekenen en dus ook aan de buitenrand. Tenzijne van de verschillende start van $s = t'$ krijgt men in het algemeen niet die spanning aan de buitenkant die daar in overeenhangt met een $(\sigma_n = 0)$.
Stel dan in σ_b'

We moeten dan de berekening met een tweede verschillende spanningstoestand beginnen die bij dezelfde beginwaarde start m.t. voor $t=0$ dan $s=t'$ maar $w=0$.
Stel nu dat de waarde aan de rand wordt σ_b'' .
Om nu toch nog de voorgeschreven voorwaarde m.t. $\sigma_b = 0$ te kunnen moet men aan de eerste spanningstoestand een σ -voertje van de tweede spanningsstoostand toevoegen volgens dat geluk:

$$\sigma_b = 0 = \sigma_b' + \sigma \sigma_b'' \quad \Rightarrow \quad \sigma = - \frac{\sigma_b'}{\sigma_b''}$$

Opmelding

Bij de verschillende hanteerde voorwaarden waarde van σ in de berekening moet men er rekening mee houden dat de beginwaarde van $s = t'$ dicht bij elkaar liggen.
Men heeft dan ook voor σ_b' een waarde in de buurt van $\sigma_n + (d-\beta) w^2 t^2$ met een waarde voor σ die overeenkomt met de plaats van starten.

+

IX

Berekening van de theoretische radiale enlangsrale spanning in de schijf.7. De methode volgens hoofdstuk II

Volgens de afleiding op bladz 11 e.v. geldt:

in schijf I :

$$\left. \begin{aligned} \sigma_r &= \frac{3+V}{\rho} \rho \omega^2 / f_1(m) - r^2 \\ \sigma_\theta &= \frac{3+V}{\rho} \rho \omega^2 f_1(m) - \frac{1+3V}{\rho} \rho \omega^2 r^2 \end{aligned} \right\} \quad 0 \leq r \leq 16 \text{ cm.}$$

in schijf II :

$$\left. \begin{aligned} \sigma_r &= \frac{3+V}{\rho} \rho \omega^2 \left\{ f_2(m) / \left(\frac{r}{h^2} - \frac{r}{b^2} \right) - \left(r^2 - b^2 \right) \right\} \\ \sigma_\theta &= - \frac{3+V}{\rho} \rho \omega^2 f_2(m) \left\{ \frac{1}{h^2} + \frac{1}{b^2} \right\} - \rho \omega^2 \left(\frac{1+3V}{\rho} r^2 - \frac{3+V}{\rho} b^2 \right) \end{aligned} \right\} \quad 16 \leq r \leq 20 \text{ cm}$$

$$\text{met } g = \frac{b^2 + a^2}{(n-1)(b^2 - a^2)} + \frac{1}{n-1}$$

$$f_1(m) = \left\{ \left(\frac{na^2 - a^2 - nb^2}{m} \right) g + b^2 \right\} \cdot \frac{m}{m-g}$$

$$f_2(m) = \left\{ f_1(m) - b^2 \right\} \left\{ \frac{a^2 b^2 / (n-1)}{a^2 + b^2 + n / (b^2 - a^2)} \right\}$$

Voor gelab:

$$h_1 = nh, \text{ met } h = 8 \text{ mm}; h_2 = 30 \text{ mm} \rightarrow n = \frac{30}{8}$$

$$a = 16 \text{ cm}; b = 20 \text{ cm}; V = \frac{3}{10}; \rho = 98 \cdot 10^{-5} \text{ kg.s/cm}^2$$

$$g = -6,9365$$

$$f_1(m) = 657,04$$

$$f_2(m) = -26351,01$$

$$\omega = 314 \text{ rad/s}$$

$r [\text{cm}]$	$\sigma_r \text{ Kef}$	$\sigma_\theta \text{ Kef}$
4.7	206	209
5.7	203	207
6.7	199	205
8.2	192	201
10.2	180	194
12.2	165	186
15.4	136	169
16.0	130; 35	166; 137
18.0	31	117

$$\omega = 418,7 \text{ rad/s}$$

$r \text{ cm}$	$\sigma_r \text{ Kef}$	$\sigma_\theta \text{ Kef}$
4.7	367	373
5.7	361	369
6.7	354	365
8.2	341	350
10.2	320	345
12.2	294	331
15.4	243	301
16.0	232; 62	295; 244
18.0	35	200

$$\omega = 523,53 \text{ rad/s}$$

$r \text{ cm}$	$\sigma_r \text{ Kef}$	$\sigma_\theta \text{ Kef}$
4.7	574	582
5.7	564	577
6.7	553	570
8.2	533	559
10.2	500	540
12.2	459	516
15.4	379	470
16.0	362; 97	461; 379
18.0	62	326

$$\omega = 620 \text{ rad/s}$$

$r \text{ cm}$	$\sigma_r \text{ Kef}$	$\sigma_\theta \text{ Kef}$
4.7	826	840
5.7	813	833
6.7	797	823
8.2	760	807
10.2	720	779
12.2	661	745
15.4	546	679
16.0	522; 139	665; 540
18.0	79	470

2. De methode volgens „Grammel“

De numerieke berekening kan in de vorm van een tabel gegeven worden.

Dit is op de volgende bladz. uitgewerkt.

$$\begin{aligned}
 \omega &= 3000 \text{ rad/sec} \\
 \omega^2 &= 90000 \text{ rad/sec}^2 \\
 \beta \omega^2 &= 90000 \text{ rad/sec}^2 \\
 \beta \omega &= 300 \text{ rad/sec}
 \end{aligned}$$

Doorsnode No	1	2	3	4	5	6	7	8	9	10
$r [cm]$	0	4.7	5.7	6.7	8.2	10.2	12.2	15.4	16	20
r^2	0	22,09	32,49	44,89	67,24	104,04	148,84	237,16	256	400
$10^4 \cdot r^2 = 10^4 \cdot x$	∞	452,69	307,79	222,77	148,72	96,12	67,12	42,17	39,06	25
$y [cm]$		90	90	90	90	90	90	90	90	3
$-4y$		0	0	0	0	0	0	0	-22	
$-4y: (4+4y) = 17$		0	0	0	0	0	0	0	-9,73	
$s - \alpha \omega^2 t = \bar{\sigma}_r^2$	200	192,0	189,4	185,3	178,0	166,0	151,3	122,5	116,3	-51,0
$\alpha \omega^2 t^2$	0	7,2	10,6	14,7	22,0	34,0	48,7	77,6	83,7	130,0
$\eta \bar{\sigma}_r^2 = 25'$		0	0	0	0	0	0	0	-84,9	
$\bar{s}' + \bar{z}' = s'$	200	200	200	200	200	200	200	200	200	125,0
$\bar{s}' = s' + 45'$	200	200	200	200	200	200	200	200	200	115,1
g'	0	0	0	0	0	0	0	0	0	10,7
$\bar{z}' = \bar{t}' + \alpha t'$	200	200	200	200	200	200	200	200	200	174,5
$\bar{t}' - \bar{z}' = t'$		200	200	200	200	200	200	200	200	163,8
$\frac{1}{m} \cdot \alpha s' = \alpha t'$		0	0	0	0	0	0	0	-25,5	
$\beta \omega^2 r^2$	0	4,2	6,1	8,4	12,6	19,6	28,0	44,6	48,1	75,2
$\bar{t}' - \beta \omega^2 r^2 = \bar{\sigma}_\theta^2$	200	195,9	193,9	191,6	187,4	180,4	172,0	155,4	151,9	88,6
$\bar{s}' - \bar{z}' = \bar{s}$	0	0	0	0	0	0	0	0	-59,4	
$(X_{i+1} - X_i) \cdot 2X_i = 5$	-0,5	-0,16	-0,14	-0,17	-0,10	-0,15	-0,19	-0,04	-0,18	
$g' = g/5 - \bar{z}'$	0	0	0	0	0	0	0	0	0	10,7
g	0	0	0	0	0	0	0	0	0	-9,73
$\bar{s}'' + \bar{z}'' = \bar{s}'' + \bar{\sigma}_r^2$	100	100	100	100	100	100	100	100	100	36,2
$\eta \bar{\sigma}_r^2 = 25''$		0	0	0	0	0	0	0	0	-73
$\bar{s}'' = \bar{s}'' + 45''$	100	100	100	100	100	100	100	100	100	27
g''	0	0	0	0	0	0	0	0	0	9,2
$\bar{t}'' = \bar{t}'' + \alpha t''$	100	100	100	100	100	100	100	100	100	78,1
$\bar{z}'' - \bar{z}'' = \bar{z}'' = \bar{\sigma}_\theta^2$	100	100	100	100	100	100	100	100	100	60,9
$\frac{1}{m} \alpha s'' = \alpha t''$		0	0	0	0	0	0	0	-21,9	
$\bar{s}'' - \bar{z}'' = \bar{s}''$	0	0	0	0	0	0	0	0	-51,1	
f	-95	-0,16	-0,14	-0,17	-0,10	-0,15	-0,19	-0,04	-0,18	
$g'' = g/5 - \bar{z}''$	0	0	0	0	0	0	0	0	0	9,2
$\bar{\sigma}_r^2 + \bar{t}^2 \alpha s'' = \bar{\sigma}_r^2$	100	100	100	100	100	100	100	100	100	63,5
$\bar{\sigma}_r^2 + \bar{t}^2 \alpha s' = \bar{\sigma}_r^2$	100	192,0	189,4	185,3	178,0	166,0	151,3	122,5	116,3	-51,0
$\bar{t} \bar{\sigma}_r^2$	13,0	13,0	13,0	13,0	13,0	13,0	13,0	13,0	13,0	8,0
$\bar{\sigma}_r^2 + \bar{t}^2 \alpha s = \bar{\sigma}_r^2$	213,0	204,6	203,2	199,1	191,0	179,0	165,1	136,3	82,6	0
$\bar{\sigma}_r^2 + \bar{t}^2 \alpha t = \bar{\sigma}_r^2$	100	100	100	100	100	100	100	100	100	60,9
$\bar{\sigma}_r^2 + \bar{t}^2 \alpha t' = \bar{\sigma}_r^2$	100	195,0	193,9	191,6	187,4	180,4	172,0	155,4	151,9	88,6
$\bar{t} \bar{\sigma}_r^2$	13,0	13,0	13,0	13,0	13,0	13,0	13,0	13,0	13,0	9,5
$\bar{\sigma}_r^2 + \bar{t}^2 \bar{\sigma}_\theta^2 = \bar{\sigma}_r^2$	213,0	209,7	207,7	205,4	201,2	194,2	185,0	169,2	157,4	98,1

$\alpha \omega^2 = 0.555$
 $\alpha \omega^2 = 0.576$
 $\alpha \omega^2 = 0.593$

$\alpha \omega^2 = 0.6000$ ~~and/or~~

	1	2	3	4	5	6	7	8	9	10	
$r [cm]$	0	4,7	5,7	6,7	8,2	10,2	12,2	15,4	16	20	
r^2	0	23,09	32,49	44,89	67,24	104,04	140,84	237,16	256	400	
$10^4 \cdot r^2 = 10^4 \cdot x$	∞	452,69	307,79	222,77	148,72	96,12	67,19	42,17	39,06	25,0	
$y [cm]$		0,0	0,0	0,0	0,0	0,0	0,0	0,0	0,0	3	
$-4y$		0	0	0	0	0	0	0	0	-2,2	
$-4y : (4+4y) = 7$		0	0	0	0	0	0	0	0	-0,73	
$\delta - \omega^2 \cdot t^2 = \bar{t}_r'$	200	187,21	181,19	170,06	161,07	139,76	114,28	62,68	51,78	-64,64	
$\omega \omega^2 \cdot t^2$	0	12,79	18,81	25,94	38,93	60,24	85,72	137,32	140,22	23,60	
$2\bar{t}_r^2 = 45'$		0	0	0	0	0	0	0	0	-37,80	
$\bar{s} + \bar{z}' = \bar{s}'$	200	200	200	200	200	200	200	200	200	166,96	
$\bar{s}' = \bar{s}' + 45'$	200	200	200	200	200	200	200	200	200	162,20	
\bar{z}'		0	0	0	0	0	0	0	0	4,76	
$\bar{s}' = \bar{s}' + 45'$	200	200	200	200	200	200	200	200	200	188,66	
$\bar{z}' - \bar{z}' = \bar{z}'$		200	200	200	200	200	200	200	200	200	183,90
$\bar{z} \cdot 45' = \bar{z}'$		0	0	0	0	0	0	0	0	-11,54	
$\beta \omega^2 \cdot t^2$	0	7,38	10,85	14,99	22,46	34,75	49,71	79,21	85,50	133,60	
$\bar{t}' - \beta \omega^2 \cdot t^2 = \bar{t}_r'$	200	192,62	185,15	185,01	177,54	165,25	150,29	120,79	114,50	50,30	
$\bar{s}' - \bar{z}'$	0	0	0	0	0	0	0	0	0	-26,46	
$(K_{24} - K_1 \cdot 2K_2) \cdot \bar{s}$	-0,5	-0,16	-0,14	-0,17	-0,18	-0,15	-0,19	-0,04	-0,18		
$\bar{z}' = \bar{s} / (\bar{s}' - \bar{z}')$	0	0	0	0	0	0	0	0	0	4,76	
\bar{z}		0	0	0	0	0	0	0	0	-0,73	
$\bar{s}'' + \bar{z}'' = \bar{s}'' - \bar{t}_r''$	100	100	100	100	100	100	100	100	100	36,20	
$2\bar{t}_r'' = 45''$		0	0	0	0	0	0	0	0	-73	
$\bar{s}'' = \bar{s}'' + 45''$	100	100	100	100	100	100	100	100	100	27	
\bar{z}''		0	0	0	0	0	0	0	0	9,20	
$\bar{z}'' = \bar{z}'' + 45''$	100	100	100	100	100	100	100	100	100	70,1	
$\bar{z}'' - \bar{z}'' = \bar{z}'' - \bar{t}_r''$	100	100	100	100	100	100	100	100	100	69,90	
$\bar{z} \cdot 45'' = \bar{z}''$		0	0	0	0	0	0	0	0	-21,9	
$\bar{s}'' - \bar{z}''$	0	0	0	0	0	0	0	0	0	-51,1	
\bar{s}	-0,5	-0,16	-0,14	-0,17	-0,18	-0,15	-0,19	-0,04	-0,18		
$\bar{z}'' = \bar{s} / (\bar{s}'' - \bar{z}'')$	0	0	0	0	0	0	0	0	0	9,20	
$\bar{t}_r'' + \bar{z}'' = \bar{t}_r''$	100	100	100	100	100	100	100	100	100	63,5	36,3
$\bar{t}_r'' + \bar{z}'' = \bar{t}_r'$	200	187,21	181,19	170,06	161,06	139,76	114,28	62,68	52,88	-64,64	
\bar{t}_r''	178,6	178,6	178,6	178,6	178,6	178,6	178,6	178,6	178,6	113,41	64,64
$\bar{t}_r'' = \bar{t}_r'' + \bar{t}_r''$	378,6	365,81	359,79	348,66	339,66	318,36	292,80	241,28	146,29	0	
$\bar{t}_r'' + \bar{z}'' = \bar{t}_r''$	100	100	100	100	100	200	100	100	100	89,05	60,9
$\bar{t}_r'' + \bar{z}'' = \bar{t}_r'$	200	192,62	185,15	185,01	177,54	165,25	150,29	120,79	108,83	50,30	
\bar{t}_r''	178,6	178,6	178,6	178,6	178,6	178,6	178,6	178,6	178,6	159,04	123,06
$\bar{t}_r'' = \bar{t}_r'' + \bar{t}_r''$	378,6	374,22	363,75	363,61	365,14	349,85	328,89	299,39	267,87	173,36	

$$\begin{aligned}
 & 40 \\
 & \frac{\partial}{\partial t} = 5000 \text{ cm/min} \\
 & \frac{\partial}{\partial t} = 9522 \\
 & \frac{\partial}{\partial t} = 0 + 14120 = 14120 \\
 & 36,2
 \end{aligned}$$

	1	2	3	4	5	6	7	8	9	10
$r[\text{cm}]$	0	4,7	5,7	6,7	8,2	10,2	11,2	11,4	16	20
t^2	0	26,09	32,49	44,89	67,24	104,04	148,84	207,16	256	400
$\omega^4 \cdot r^2 = \omega^4 \cdot x$	0	452,7	307,0	222,0	148,7	96,1	67,1	42,1	31,0	25
$y[\text{cm}]$	0,8	0,8	0,8	0,8	0,8	0,8	0,8	0,8	3	
$-ay$		0	0	0	0	0	0	0	-2,2	
$-ay / (y + ay) = 2$		0	0	0	0	0	0	0	-0,73	
$s - \omega^2 r^2 = \bar{s}_r'$	200	109,0	170,6	159,4	139,2	105,8	65,3	-14,6	-31,7	-141,0
$\omega^2 r^2$	0	10,0	29,4	40,6	60,9	94,2	134,7	24,6	23,7	362
$y \bar{s}_r' = 45^\circ$		0	0	0	0	0	0	0	23,1	
$\bar{s}' + \bar{s}' = s'$		200	200	200	200	200	200	200	200	220,2
$\bar{s}' = s' + as'$	200	200	200	200	200	200	200	200	223,1	
\bar{s}'	0	0	0	0	0	0	0	0	-2,9	
$\bar{s}' = t' + at'$	200	200	200	200	200	200	200	200	206,9	
$\bar{s} - \bar{s}' = \bar{s}'$		200	200	200	200	200	200	200	200	209,9
$\bar{s} - as' = at'$		0	0	0	0	0	0	0	6,9	
$\beta \omega^2 r^2$	0	11,5	17,0	23,4	35,1	54,3	77,7	123,8	133,6	208,8
$\bar{s}' - \beta \omega^2 r^2 = \bar{s}_\theta'$	200	180,5	183,0	176,6	164,9	145,7	122,3	76,2	66,4	10
$\bar{s}' - \bar{s}'$	0	0	0	0	0	0	0	0	13,2	
$(X_{\text{H}} - X_i) : 2X_1 = 5$	-0,5	-0,16	-0,14	-0,17	-0,18	-0,15	-0,19	-0,04	-0,10	
$\bar{s}' = \bar{s} / (\bar{s}' - \bar{s}')$	0	0	0	0	0	0	0	0	-2,9	
\bar{s}		0	0	0	0	0	0	0	-0,73	
$\bar{s}'' + \bar{s}'' = \bar{s}'' = \bar{s}_r''$	100	100	100	100	100	100	100	100	100	36,2
$y \bar{s}_r'' = 45''$		0	0	0	0	0	0	0	-73	
$\bar{s}'' = \bar{s}'' + as''$	100	100	100	100	100	100	100	100	17	
\bar{s}''	0	0	0	0	0	0	0	0	9,2	
$\bar{s}'' = \bar{s}'' + at''$	100	100	100	100	100	100	100	100	70,1	
$\bar{s}'' - \bar{s}'' = \bar{s}'' = \bar{s}_\theta''$	100	100	100	100	100	100	100	100	100	68,9
$\bar{s} - as'' = at''$		0	0	0	0	0	0	0	-21,9	
$\bar{s}'' - \bar{s}'' = \bar{s}'' = \bar{s}_\theta''$	0	0	0	0	0	0	0	0	-5,1	
ξ	-0,5	-0,16	-0,14	-0,17	-0,18	-0,15	-0,14	-0,04	-0,10	
$\bar{s}'' = \xi / (\bar{s}'' - \xi)$	0	0	0	0	0	0	0	0	9,2	
$\bar{s}_r'' + \bar{s}'' = \bar{s}_r''$	100	100	100	100	100	100	100	100	63,5	36,3
$\bar{s}_r'' + \frac{1}{2} as'' = \bar{s}_r''$	100	180,0	170,6	159,4	139,2	105,8	65,3	-14,6	-20,1	-144,8
$a \bar{s}_r''$	391,6	391,6	391,6	391,6	391,6	391,6	391,6	391,6	248,7	144,8
$\bar{s}_r = \bar{s}_r' + a \bar{s}_r''$	591,6	574,6	562,2	550,0	530,8	497,4	457,0	377,0	228,6	0
$\bar{s}_\theta'' + \frac{1}{2} as'' = \bar{s}_\theta''$	100	100	100	100	100	100	100	100	89,1	69,0
$\bar{s}_\theta' + \frac{1}{2} as' = \bar{s}_\theta'$	100	180,5	183,0	176,6	165,0	145,7	122,3	76,2	69,9	10
$a \bar{s}_\theta''$	391,6	391,6	391,6	391,6	391,6	391,6	391,6	391,6	340,8	269,0
$\bar{s}_\theta = \bar{s}_\theta' + a \bar{s}_\theta''$	591,6	500,0	574,6	562,2	556,5	537,3	513,9	467,8	410,6	270,9

	1	2	3	4	5	6	7	8	9	10	41
$r [cm]$	0	41,7	51,7	61,7	0,2	101,2	111,2	151,4	16	20	
r^2	0	22,09	32,49	44,89	0,724	104,04	148,04	237,16	256	400	
$\omega^4 = r^2 \cdot \omega^4 \cdot x$	0	252,7	307,8	222,8	148,7	96,1	67,1	42,1	39,0	25	
$y [cm]$	0,0	0,0	0,0	0,0	9,0	9,0	9,0	9,0	4,00	3	
$-ay$		0	0	0	0	0	0	0	0	-22	
$-4y/(y+ay) = 7$		0	0	0	0	0	0	0	0	-0,73	
$\zeta' - \omega^2 r^2 = \bar{\zeta}_n'$	200	171,2	151,7	141,5	112,4	64,0	61	-109,0	-133,6	-2360	
$\Delta \omega^2 r^2$	0	28,78	42,33	50,49	87,61	135,56	193,04	309,02	333,57	521,2	
$\bar{\zeta}_n'^2 = 45'$		0	0	0	0	0	0	0	97,51		
$s' + g' = 5'$	200	200	200	200	200	200	200	200	200	285,2	
$\zeta' = s' + g'$	200	200	200	200	200	200	200	200	200	297,5	
g'		0	0	0	0	0	0	0	0	-12,3	
$\zeta' = s' + g'$	200	200	200	200	200	200	200	200	200	229,3	
$\zeta' - z' = \varepsilon'$		200	200	200	200	200	200	200	200	200	241,5
$\zeta' - 45' = \alpha\varepsilon'$		0	0	0	0	0	0	0	0	29,3	
$\beta \omega^2 r^2$		16,61	24,43	33,76	50,56	70,24	111,93	170,34	192,51	300,8	
$\zeta' - \beta \omega^2 r^2 = \bar{\zeta}_n'$	200	103,4	145,6	166,2	149,4	121,8	88,0	21,7	7,5	-59,3	
$\zeta' - \zeta'$	0	0	0	0	0	0	0	0	0	60,3	
$(x_{ij}, -x_i) : 2x_i = f$	-0,5	-0,16	-0,14	-0,17	-0,18	-0,15	-0,19	-0,04	-0,10		
$\zeta' = f / (\zeta' - \zeta')$	0	0	0	0	0	0	0	0	0	-12,3	
ϑ		0	0	0	0	0	0	0	0	-0,73	
$\zeta'' + g'' = \bar{\zeta}_n''$	100	100	100	100	100	100	100	100	100	36,2	
$\bar{\zeta}_n'' = 45''$		0	0	0	0	0	0	0	0	-73	
$\zeta'' = \zeta'' + g''$	100	100	100	100	100	100	100	100	100	27	
g''		0	0	0	0	0	0	0	0	9,2	
$\zeta'' = \zeta'' + g''$	100	100	100	100	100	100	100	100	100	50,1	
$\zeta'' - g'' = \zeta'' = \bar{\zeta}_n''$	100	100	100	100	100	100	100	100	100	60,9	
$\zeta'' - 45'' = \alpha\varepsilon''$		0	0	0	0	0	0	0	0	-21,9	
$\zeta'' - \zeta''$	0	0	0	0	0	0	0	0	0	-56,1	
ε	-0,5	-0,16	-0,14	-0,17	-0,18	-0,15	-0,19	-0,04	-0,10		
$\zeta'' = f / (\zeta'' - \zeta'')$	0	0	0	0	0	0	0	0	0	9,2	
$\zeta_n'' + g'' = \bar{\zeta}_n''$	60	100	100	100	100	100	100	100	100	63,5	36,3
$\bar{\zeta}_n' + \zeta' 45' = \bar{\zeta}_n'$	200	171,2	151,7	141,5	112,4	64,0	61	-109,0	-133,6	-2360	
$\bar{\zeta}_n''$	651,9	651,9	651,9	651,9	651,9	651,9	651,9	651,9	651,9	413,9	236,0
$\bar{\zeta}_n = \bar{\zeta}_n + \bar{\zeta}_n \bar{\zeta}_n''$	851,9	823,1	809,6	793,4	764,3	715,9	650,0	544,9	280,4	0	
$\bar{\zeta}_n'' + \zeta' 45'' = \bar{\zeta}_n''$	100	100	100	100	100	100	100	100	100	89,1	60,9
$\bar{\zeta}_n' + \zeta' 45' = \bar{\zeta}_n'$	200	183,4	175,6	166,2	149,4	121,8	88,1	21,7	7,5	-59,3	
$\bar{\zeta}_n''$	651,9	651,9	651,9	651,9	651,9	651,9	651,9	651,9	651,9	580,5	449,2
$\bar{\zeta}_n = \bar{\zeta}_n + \zeta' 45''$	851,9	835,3	827,5	818,1	801,3	773,7	740,0	673,6	588,0	389,9	

$$\begin{aligned}
 w &= 6000 \text{ mm/min} \\
 \alpha \omega^2 &= 6303 \\
 \beta \omega^2 &= 0,752 \\
 \varepsilon &= 6519
 \end{aligned}$$

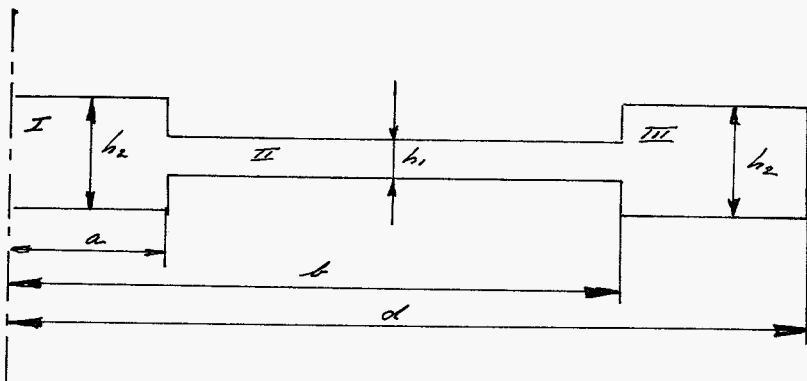
3. Innovering van de boven gemende

De schijf waaraan gemeten was bestond uit drie gedeelten, de eigenlijke schijf met een doorsnede van 4-16 cm en aan de buitenrand daarvan een veel smaller ring. Aan de binnenzijde was ook een ring maar van veel kleinere breedte. Het gatje was op een as gehouwen van circa Ø 30 mm. In de opdracht was nu de suggestie geopperd om deze binnering niet als de beschouwen als een deel van de schijf met een vijle als een schijf. Deze overonderstelling is in eerste instantie aannemelijk omdat de breedte van deze binnenring bijna even groot is als de vijle. De vooronderstelling dat de rotatieafstand r klein is en dus de verandering in volume groot is klein lijkt. Maar bij vergelijking van de theorie en het experiment kreeg men grote verschillen. In de spanningen kwam niet de methode van Grammel als niet die methoden die gemeten zijn in vorige hoofdstukken.

Het blijft dan van zich om dat het probleem een te onderzoeken met de schijf opgebouwd als drie delen schijf van verschillende dichten waarbij de as tot de buitenste schijf gevonden wordt. Dit is op de volgende bladzijden uitgevoerd.

+

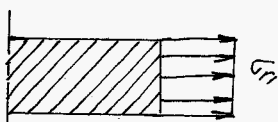
X Breukbaar hefprobleem als drie schijven



Wanneer reeds in alle breuke lichaamsdelen is opgeteld geteld van een plaatje schijf met constante dichte:

$$\bar{\sigma}_r = C_1 + \frac{C_2}{r^2} - \frac{3+V}{\rho} \rho w^2 r^2$$

$$\bar{\sigma}_g = C_1 - \frac{C_2}{r^2} - \frac{1+3V}{\rho} \rho w^2 r^2$$



Toegehoort op schijf I wordt uit:

Kondenswaarden: $r=0 ; \bar{\sigma}_r = \bar{\sigma}_g$
 $r=a ; \bar{\sigma}_r = \bar{\sigma}_{r1}$

$$\Rightarrow \bar{\sigma}_r = B_1 - \frac{3+V}{\rho} \rho w^2 r^2$$

$$\bar{\sigma}_g = B_1 - \frac{1+3V}{\rho} \rho w^2 r^2$$

Voor $r=a$ dan $\bar{\sigma}_r = \bar{\sigma}_{r1}$

$$\Rightarrow \bar{\sigma}_{r1} = B_1 - \frac{3+V}{\rho} \rho w^2 a^2 \Rightarrow B_1 = \bar{\sigma}_{r1} + \frac{3+V}{\rho} \rho w^2 a^2$$

$$\bar{\sigma}_r = \bar{\sigma}_{r1} + \frac{3+V}{\rho} \rho w^2 / (a^2 - r^2)$$

$$\bar{\sigma}_g = \bar{\sigma}_{r1} + \frac{3+V}{\rho} \rho w^2 a^2 - \frac{1+3V}{\rho} \rho w^2 r^2$$

X - 7

$$\text{Set nu verder } \frac{\partial \nu}{\partial} \rho \omega^2 = \alpha \text{ en } \frac{\partial \beta}{\partial} \rho \omega^2 = \beta$$

$$\Rightarrow \sigma_r = \sigma_{rr} + \alpha/a^2 - \beta r^2 \quad ||$$

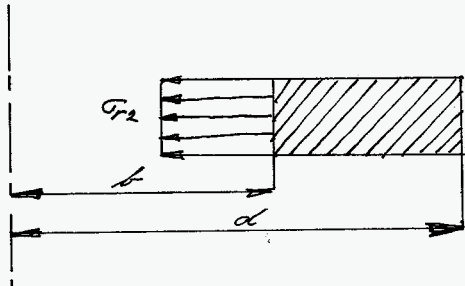
$$\sigma_\theta = \sigma_{rr} + \alpha a^2 - \beta r^2 \quad ||$$

Verder geldt:

$$\epsilon_r = \frac{\nu}{r} = \frac{1}{E} (\sigma_\theta - \nu \sigma_r) = \frac{1}{E} \left[\sigma_{rr} + \alpha a^2 - \beta r^2 - \nu \sigma_{rr} - \nu \alpha/a^2 - \beta r^2 \right]$$

$$\Rightarrow \epsilon_r = \frac{\nu}{E} \left[\sigma_{rr} (1-\nu) + \alpha a^2 - \beta r^2 - \nu \alpha/a^2 \right]. \quad || \quad \text{I} - 2.$$

Toegelast op leeft III



Algemeen geldt:

$$\sigma_r = \sigma_1 + \frac{\sigma_2}{b^2} - \alpha b^2$$

$$\sigma_\theta = \sigma_1 - \frac{\sigma_2}{b^2} - \beta b^2$$

Voor $r = b$ dan $\sigma_r = \sigma_{r2}$

$$\sigma_{r2} = \sigma_1 + \frac{\sigma_2}{b^2} - \alpha b^2 \Rightarrow \sigma_1 = \sigma_{r2} + \alpha b^2 - \frac{\sigma_2}{b^2}$$

Voor $r = 0$ dan $\sigma_r = 0$

$$0 = \sigma_1 + \frac{\sigma_2}{d^2} - \alpha d^2 \Rightarrow \sigma_1 = \alpha d^2 - \frac{\sigma_2}{d^2}$$

$$\sigma_{r2} + \alpha b^2 = \alpha d^2 - \frac{\sigma_2}{d^2} + \frac{\sigma_2}{b^2} \Rightarrow \sigma_1 = \frac{b^2 d^2}{d^2 - b^2} \cdot \sigma_{r2} - \alpha b^2 d^2$$

$$\sigma_1 = \alpha d^2 - \frac{b^2}{d^2 - b^2} \cdot \sigma_{r2} + \alpha b^2 = \alpha/d^2 + b^2 - \frac{b^2}{d^2 - b^2} \cdot \sigma_{r2}$$

Dan:

$$\sigma_r = \alpha / (\alpha^2 + b^2) - \frac{b^2}{\alpha^2 - b^2} \cdot \sigma_{r2} + \frac{b^2 \alpha^2}{\alpha^2 - b^2} \cdot \frac{\sigma_{r2}}{r^2} - \frac{\alpha b^2 \alpha^2}{r^2} - \alpha r^2$$

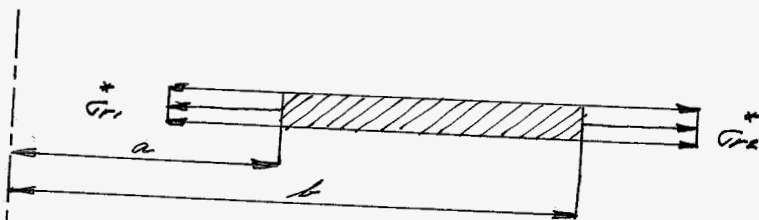
$$\sigma_\theta = \alpha / (\alpha^2 + b^2) - \frac{b^2}{\alpha^2 - b^2} \cdot \sigma_{r2} - \frac{b^2 \alpha^2}{\alpha^2 - b^2} \cdot \frac{\sigma_{r2}}{r^2} + \frac{\alpha b^2 \alpha^2}{r^2} - \beta r^2$$

X-3

$$\begin{aligned} \sigma_z = \frac{1}{E} & \left\{ \alpha / (\alpha^2 + b^2) - \frac{b^2}{\alpha^2 - b^2} \cdot \sigma_{r2} - \frac{b^2 \alpha^2}{\alpha^2 - b^2} \cdot \frac{\sigma_{r2}}{r^2} + \frac{\alpha b^2 \alpha^2}{r^2} - \beta r^2 \right. \\ & \left. - \nu \alpha / (\alpha^2 + b^2) + \nu \cdot \frac{b^2}{\alpha^2 - b^2} \cdot \sigma_{r2} - \frac{\nu b^2 \alpha^2}{\alpha^2 - b^2} \cdot \frac{\sigma_{r2}}{r^2} + \frac{\nu \alpha b^2 \alpha^2}{r^2} + \nu \alpha r^2 \right\} \end{aligned}$$

$$\Rightarrow \sigma_{zz} = \frac{1}{E} \left\{ \alpha (1-\nu) / (\alpha^2 + b^2) - (1-\nu) \frac{b^2}{\alpha^2 - b^2} \cdot \sigma_{r2} - (1+\nu) \frac{b^2 \alpha^2}{\alpha^2 - b^2} \cdot \frac{\sigma_{r2}}{r^2} \right. \\ \left. + (1+\nu) \frac{\alpha b^2 \alpha^2}{r^2} - r^2 / (\beta - \nu \alpha) \right\}$$

X-4

Konsequenz II

$$\sigma_r = \beta_1 + \frac{\beta_2}{r^2} - \alpha r^2$$

$$\sigma_\theta = \beta_1 - \frac{\beta_2}{r^2} - \beta r^2$$

$$\text{Von } r=a \text{ da } \sigma_r = \sigma_{r2}^*$$

$$\sigma_{r2}^* = \beta_1 + \frac{\beta_2}{a^2} - \alpha a^2 \implies \beta_1 = \sigma_{r2}^* + \alpha a^2 - \frac{\beta_2}{a^2}$$

$$\text{Von } r=b \text{ da } \sigma_r = \sigma_{r2}^*$$

$$\sigma_{r2}^* = \beta_1 + \frac{\beta_2}{b^2} - \alpha b^2 \implies \beta_1 = \sigma_{r2}^* + \alpha b^2 - \frac{\beta_2}{b^2}$$

$$\text{dus } \overset{*}{\sigma_{r_1}} + \alpha a^2 - \frac{\beta_2}{a^2} = \overset{*}{\sigma_{r_2}} + \alpha b^2 - \frac{\beta_2}{b^2}$$

$$\beta_2 \left(\frac{1}{b^2} - \frac{1}{a^2} \right) = \overset{*}{\sigma_{r_2}} - \overset{*}{\sigma_{r_1}} + \alpha(b^2 - a^2)$$

$$\rightarrow \beta_2 = \frac{a^2 b^2}{a^2 - b^2} \left(\overset{*}{\sigma_{r_2}} - \overset{*}{\sigma_{r_1}} \right) - \alpha a^2 b^2$$

$$\beta_1 = \overset{*}{\sigma_{r_2}} + \alpha b^2 - \frac{a^2}{a^2 - b^2} \left(\overset{*}{\sigma_{r_2}} - \overset{*}{\sigma_{r_1}} \right) + \alpha a^2$$

 \Rightarrow

$$\overset{*}{\sigma_r} = \overset{*}{\sigma_{r_2}} + \alpha b^2 - \frac{a^2}{a^2 - b^2} \left(\overset{*}{\sigma_{r_2}} - \overset{*}{\sigma_{r_1}} \right) + \alpha a^2 + \frac{a^2 b^2}{r^2(a^2 - b^2)} \left(\overset{*}{\sigma_{r_2}} - \overset{*}{\sigma_{r_1}} \right) - \frac{\alpha a^2 b^2}{r^2} - \alpha r^2$$

$$\overset{*}{\sigma_b} = \overset{*}{\sigma_{r_2}} + \alpha b^2 - \frac{a^2}{a^2 - b^2} \left(\overset{*}{\sigma_{r_2}} - \overset{*}{\sigma_{r_1}} \right) + \alpha a^2 - \frac{a^2 b^2}{r^2(a^2 - b^2)} \left(\overset{*}{\sigma_{r_2}} - \overset{*}{\sigma_{r_1}} \right) + \frac{\alpha a^2 b^2}{r^2} - \alpha r^2$$

x-5

$$u_{\overline{x}} = \frac{c}{E} \left\{ (1-v) \overset{*}{\sigma_{r_2}} + (1-v) \alpha b^2 - \frac{a^2}{a^2 - b^2} \left(\overset{*}{\sigma_{r_2}} - \overset{*}{\sigma_{r_1}} \right) / (1-v) + \alpha a^2 / (1-v) \right.$$

$$\left. - \frac{a^2 b^2}{r^2(a^2 - b^2)} \left(\overset{*}{\sigma_{r_2}} - \overset{*}{\sigma_{r_1}} \right) / (1+v) + \frac{\alpha a^2 b^2}{r^2} (1+v) - r^2 / (3 - \nu v) \right\}$$

x-6

De meegangsbronwaarden van de ene kant naar de andere zijn nu:

$$\stackrel{1}{=} \text{van } r=a ; \quad u_x = u_{\overline{x}} \quad \text{en} \quad \overset{*}{\sigma_{r_1}} = \frac{b_1}{h_2} \overset{*}{\sigma_{r_2}} = m \overset{*}{\sigma_{r_2}}$$

$$\stackrel{2}{=} \text{van } r=b ; \quad u_x = u_{\overline{x}} \quad \text{en} \quad \overset{*}{\sigma_{r_2}} = \frac{b_1}{h_2} \overset{*}{\sigma_{r_2}} = m \overset{*}{\sigma_{r_2}}$$

ad 1

$$m \overset{*}{\sigma_{r_1}} / (1-v) + \alpha a^2 = (1-v) \overset{*}{\sigma_{r_2}} + (1-v) \alpha b^2 - \frac{a^2}{a^2 - b^2} \left(\overset{*}{\sigma_{r_2}} - \overset{*}{\sigma_{r_1}} \right) / (1-v) + \alpha a^2 / (1-v)$$

$$- \frac{b^2}{a^2 - b^2} \left(\overset{*}{\sigma_{r_2}} - \overset{*}{\sigma_{r_1}} \right) / (1+v) + \alpha b^2 / (1+v) + \alpha a^2$$

x-7

ad 2

$$(1-v) \overset{*}{\sigma_{r_2}} + (1-v) \alpha b^2 - \frac{a^2}{a^2 - b^2} \left(\overset{*}{\sigma_{r_2}} - \overset{*}{\sigma_{r_1}} \right) / (1-v) + \alpha a^2 / (1-v) - \frac{a^2}{a^2 - b^2} \left(\overset{*}{\sigma_{r_2}} - \overset{*}{\sigma_{r_1}} \right) / (1+v) + \alpha a^2 / (1+v) =$$

$$= \alpha / (1-v) / (a^2 + b^2) - (1-v) \frac{b^2}{a^2 - b^2} \overset{*}{\sigma_{r_2}} - (1+v) \frac{a^2}{a^2 - b^2} \cdot m \overset{*}{\sigma_{r_2}} + (1+v) / \alpha a^2$$

Het voorwaarde $\bar{\sigma}_f$ is de waarde van $\bar{\sigma}_{r_1}$ en $\bar{\sigma}_{r_2}$ te bepalen
uit de afmetingen van de schijven en hun relatiedeelheid.

Tegen deze behoeft dan er ook de spanning σ_r en σ_{r_2} te schrijven
te bepalen met ogt. XI-5

$\bar{\sigma}_f$

XI

Bepaling van de absolute spanning lijkijf II

I

$$\omega = 3000 \text{ rad/min} \quad \text{dan } \alpha = \frac{314}{\rho} \rho \omega^2 = 0,327 ; \beta = \frac{133}{\rho} \rho \omega^2 = 0,100$$

$$\text{Vader is } a=4 \text{ cm} ; b=6 \text{ cm} ; d=20 \text{ cm} ; h_1=9,8 ; h_2=3 \text{ cm} ; \nu=0,3 ; m=\frac{h_1}{h_2}=0,27$$

Van $\bar{\sigma}_{r_1}$:

$$0,19 \bar{\sigma}_{r_1} + 5,13 = 0,7 \bar{\sigma}_{r_2} + 50,60 + 0,05 \bar{\sigma}_{r_2} - 0,05 \bar{\sigma}_{r_1} + 3,66 + 1,38 \bar{\sigma}_{r_2} - 1,38 \bar{\sigma}_{r_1} + 100,83 + 1,57 \\ 1,63 \bar{\sigma}_{r_1} = 167,43 + 1,14 \bar{\sigma}_{r_2} \\ \rightarrow \bar{\sigma}_{r_1} = 102,72 + 0,72 \bar{\sigma}_{r_2}$$

Van $\bar{\sigma}_{r_2}$:

$$0,7 \bar{\sigma}_{r_2} + 50,60 + 0,05 \bar{\sigma}_{r_2} - 0,05 \bar{\sigma}_{r_1} + 3,66 + 0,09 \bar{\sigma}_{r_2} - 0,09 \bar{\sigma}_{r_1} + 6,80 = 150,16 - 0,34 \bar{\sigma}_{r_2} \\ - 0,98 \bar{\sigma}_{r_2} + 170,04 \\ \rightarrow - 0,14 \bar{\sigma}_{r_2} = - 2,16 \bar{\sigma}_{r_2} + 256,14 \\ \bar{\sigma}_{r_2} = 15,43 \bar{\sigma}_{r_2} - 1793,86 \\ \text{dus: } 102,72 + 1,14 \bar{\sigma}_{r_2} = 15,43 \bar{\sigma}_{r_2} - 1793,86 \\ \rightarrow \bar{\sigma}_{r_2} = 134,32 \text{ N/mm}^2 \\ \bar{\sigma}_{r_2} = 134,32 \text{ kg/mm}^2$$

Van schijf II geldt dan voor $\omega = 3000 \text{ rad/min}$

$$\begin{aligned} \bar{\sigma} &= 222,64 + \frac{1124,35}{\mu^2} - 0,327 \mu^2 \\ \bar{\sigma} &= 222,64 - \frac{1124,35}{\mu^2} - 0,100 \mu^2 \end{aligned} \quad \left. \right|_{XII-1}$$

2^e Belastingsfase

$$\omega = 4000 \text{ rad/min} \rightarrow \alpha = 0,579 ; \beta = 0,334$$

In F-1

$$\rightarrow \overset{*}{\sigma}_{r1} = 1,31 \overset{*}{\sigma}_{r2} + 1085,28$$

In F-2

$$\rightarrow \overset{*}{\sigma}_{r1} = 15,43 \overset{*}{\sigma}_{r2} - 3176,23$$

$$\Rightarrow \overset{*}{\sigma}_{r2} = 238 \text{ kg/cm}^2$$

$$\overset{*}{\sigma}_{r1} = 497 \text{ kg/cm}^2$$

Das resultierende Laddt:

$$\sigma_r = 378 + \frac{2040}{r^2} - 0,579 r^2 \quad || \quad \text{XI-2}$$

$$\sigma_\theta = 378 - \frac{2040}{r^2} - 0,334 r^2 \quad ||$$

3^e Belastungsfall

$$\omega = 5000 \text{ rad/min} \rightarrow \alpha = 0,905 ; \beta = 0,522$$

In F-1

$$\overset{*}{\sigma}_{r1} = 1,31 \overset{*}{\sigma}_{r2} + 204$$

In F-2

$$\overset{*}{\sigma}_{r1} = 15,43 \overset{*}{\sigma}_{r2} - 4965$$

$$\overset{*}{\sigma}_{r2} = 372 \text{ kg/cm}^2$$

$$\overset{*}{\sigma}_{r1} = 721 \text{ kg/cm}^2$$

$$\Rightarrow \sigma_r = 592 + \frac{3103}{r^2} - 0,905 r^2 \quad || \quad \text{XI-3}$$

$$\sigma_\theta = 592 - \frac{3103}{r^2} - 0,522 r^2 \quad ||$$

4^e Belastungsfall

$$\omega = 6000 \text{ rad/min} \rightarrow \alpha = 1,303 ; \beta = 0,752$$

In F-1

$$\overset{*}{\sigma}_{r1} = 1,31 \overset{*}{\sigma}_{r2} + 409$$

In F-2

$$\overset{*}{\sigma}_{r1} = 15,43 \overset{*}{\sigma}_{r2} - 7140$$

$$\overset{*}{\sigma}_{r2} = 1110 \text{ kg/cm}^2$$

$$\overset{*}{\sigma}_{r1} = 535 \text{ kg/cm}^2$$

$$\Rightarrow \sigma_r = 851 + \frac{4476}{r^2} - 1,303 r^2 \quad || \quad \text{XI-4}$$

$$\sigma_\theta = 851 - \frac{4476}{r^2} - 0,752 r^2 \quad ||$$

Wijde adhesie beregen volgtig een minder we:

$\omega = 8000 \text{ cm}^2/\text{min}$		
rau	Gr	GB
4.7	266	160
5.7	247	182
6.7	233	189
8.2	217	193
10.2	199	192
12.2	182	187
15.4	150	173

$\omega = 4000 \text{ cm}^2/\text{min}$		
rau	Gr	GB
4.7	458	170
5.7	422	304
6.7	390	317
8.2	370	325
10.2	337	324
12.2	306	315
15.4	249	290

$\omega = 5000 \text{ cm}^2/\text{min}$		
rau	Gr	GB
4.7	713	434
5.7	658	480
6.7	620	499
8.2	577	511
10.2	520	508
12.2	470	493
15.4	391	455

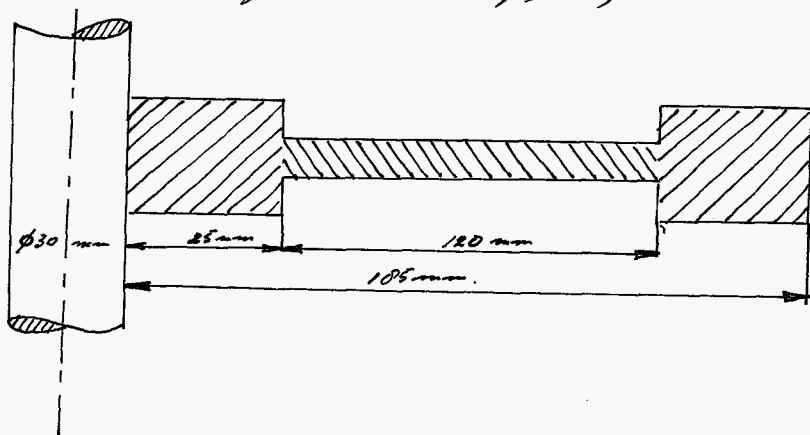
$\omega = 6000 \text{ cm}^2/\text{min}$		
rau	Gr	GB
4.7	1026	631
5.7	946	689
6.7	892	710
8.2	830	734
10.2	759	730
12.2	687	709
15.4	561	654

~~F~~

XII Het Experiment

Met behulp van de automatische relatieveks met apparaat een
van Tabel werden metingen verricht aan een
ronde platte schijf die op deze plaatsen plasseert
in drie verschillende.

De afmetingen van de schijf zijn:

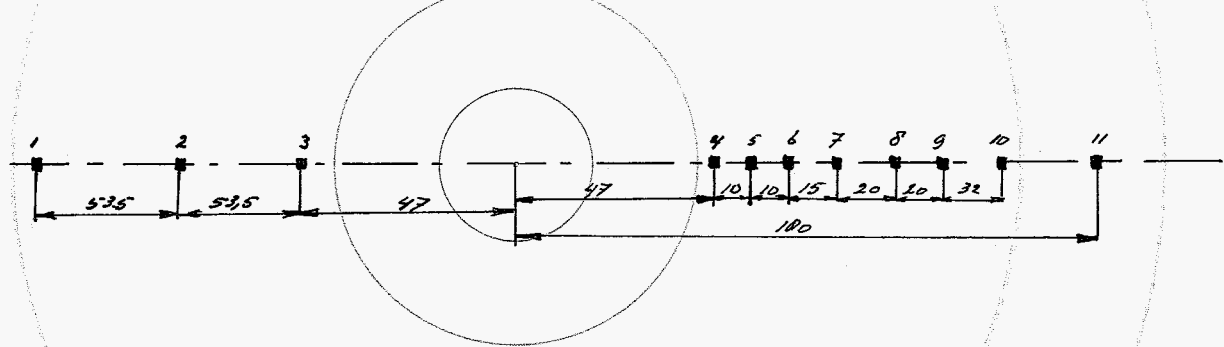


De belasting oefen dan door de schijf met een elektromotor,
die continu te variëren was in toerental van 0-2000 omw/min en
van 3000-6000 omw/min, via een riem over een geleider roeren.
De eerste toerental instelling werd gedaan door middel van
een stoksmeter.

De relatieveks werden op een afstand van één kant van de
schijf geplaatst. De referentierelatieveks radicaal symmetrisch
ond aan dezelfde kant van de schijf.

Kunnen worden in dit meetpunt berekken getallen n_1 , E_1 en E_0
die als hoofdgetallen kunnen dienen.

Op de volgende pagina vindt men een afbeelding
van de plaatsing van de relatieveks.



All measurements in mm.

Dekselroede : H.P.C 4
Gage length 4mm.
 K -factor = 2.04

Bij alle meetseries werden de tientallen streefwaarden opgeteld
te beginnen bij 3000 tm 6000 en daarna door meer via 5000
tot 40000 maar 2000.

Dit serie werd driemaal uitgevoerd. Naar mijn mening
vermoedt worden dat per meetserie slechts de helft van
het totaal aantal filamenten aangegeteld kan worden
op het Packtapparaat waardoor dus een totale
meetserie te laag moet worden.

De metingen werden onmiddellijk in een fors hand gedekt.
Hieruit werden de spanningen verkregen.

De omtrekkenigheid van deze spanningen hangt natuurlijk
stevig met de standaarddeviatie van de rechmetingen.

Dat de deviaties van de spanningen nog vrij eveneens
kunnen verschillen komt door het bericht dat elke gevonden
wordt door alle redicialeien de samenhangende met alle
elasticitetsmodulus E , die $2,1 \cdot 10^6$ is bereikt is.

De verkregen spanningen zijn nu weergegeven als volgt:

w	4R	4L	5R	5L	6R	6L	7R	7L	8R	8L	9R
3000	264	196	251	213	260	220	215	260	207	210	183
4000	475	321	447	369	451	390	380	365	359	362	325
5000	755	513	701	534	713	620	620	574	516	548	512
6000	1080	784	1006	807	990	850	860	811	735	776	740

w	9L	10R	10L	11R	11L	3L	3R	2L	2R	1L	1R
3000	184	161	183	49	155	195	240	205	210	193	174
4000	335	279	310	71	257	309	482	385	440	329	291
5000	515	423	476	107	388	557	775	570	610	495	443
6000	723	597	665	142	617	772	1103	781	808	681	610

De resultaten van het experiment zijn weergegeven in de volgende grafieken

Het vergelijkt daarbij standaard de experimentele- en de theoretische waarden.

Conclusie

Ondanks het feit dat het probleem op zich tamelijk gemakkelijk is, zijn de resultaten verbreken door een theorie en als meetwaarden bepaald slechts te noemen. Van alle gebruikte methoden is die van de elementaire schijftheorie nog als beste in overeenstemming met het experiment. De methode van Jeannin waar het eindelijk om ging geeft een der grote afwijking maar het modelen van de schijf. Die methode gaat eigenlijk alleen maar goed als het profiel van de schijf gelijkmatig, continue verandert, dus als het profiel van "glasoli" functie vondelt. Vermoeidhij zijn de sprongen in bovenzijnde horizontale rigoreus.

Wat de "bekende" platte schijftheorie ook aangeeft is immers dat het gevolg van de aanname dat de dwarsringen als slakspanningslaagstaal bijgevoegd zijn. Voral de bewerking moet dan in geen geval niet als slakspanningslaagstaal te beschouwen. De platte schijf waaruit de as en de bovenring opgebouwd gedacht kunnen worden, kunnen bij rotatie niet slak blijven omdat de dwarsconstructie niet daalt en blijft bij veranderende slakafstand. Dit veroorzaakt dat de schijven niet meer met elkaar aantrekken. Omdat dit toch het

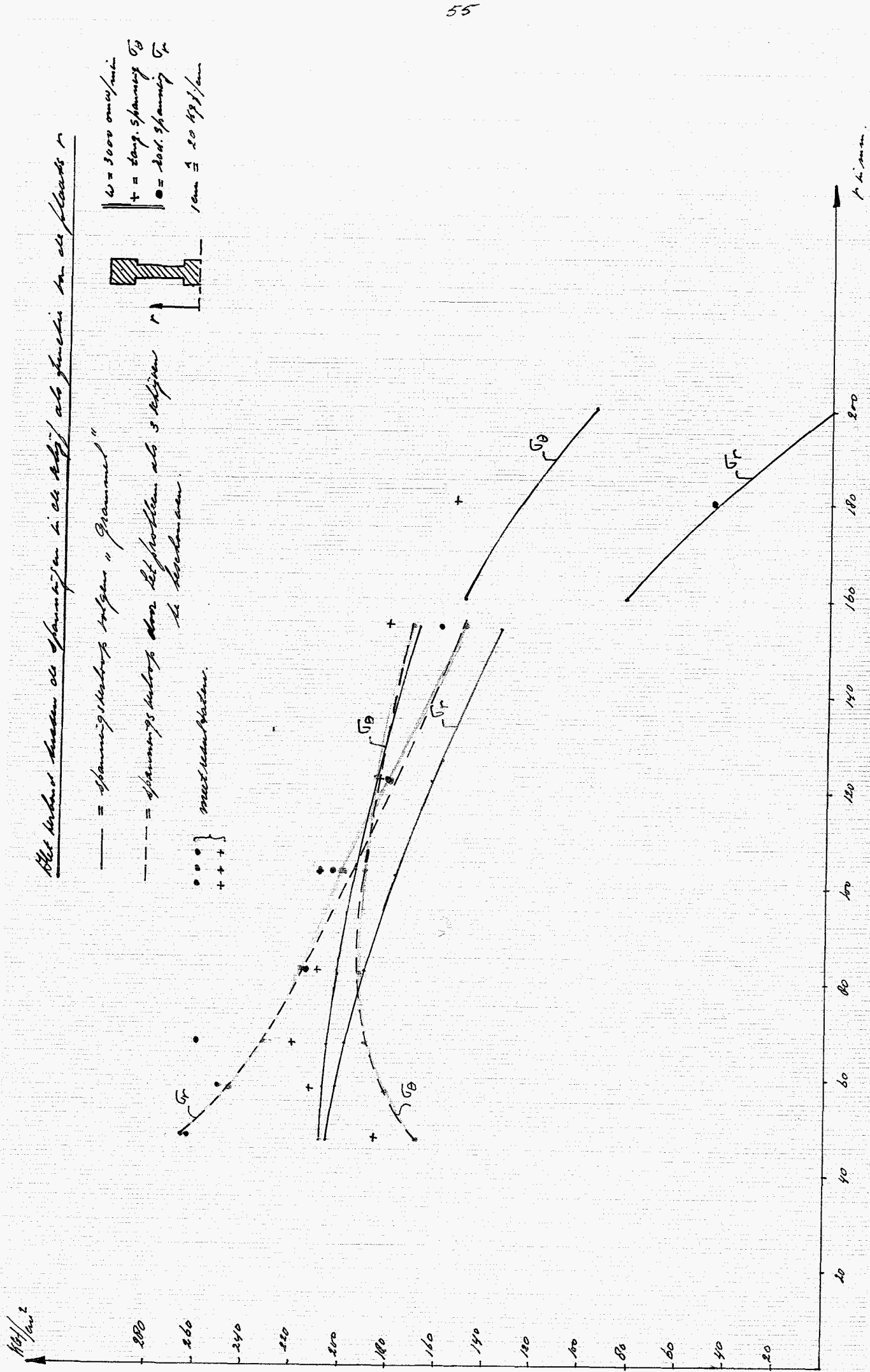
geval is uit deel van de constructie ontslaan en in
axiale richting van de schijf te gaan spannen die
hun totale klem uitoefenen op alle lagen boven - en onder de
spanring en in de schijf en de ringen.

Van daar ik nu een haardelen vindt bijna een
probleem, dat men moet om met ringelementen via
de elementen methode op te lossen.

—

Plot Verhältnis der Spannungen in den Schichten an den Balken

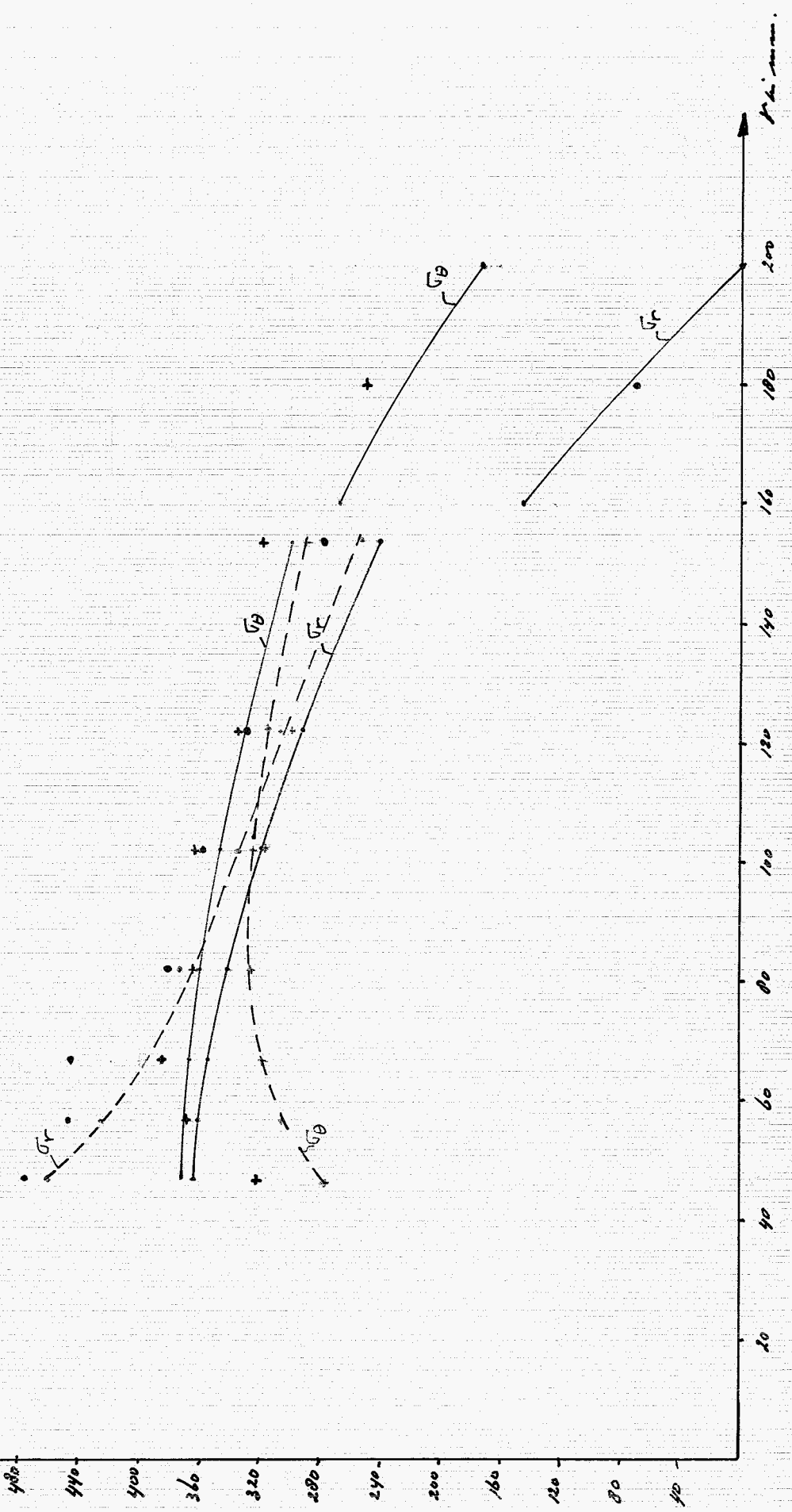
- $\omega = 3000 \text{ cm/sec/min}$
+ = tang. Spannung σ_3
• = rad. Spannung σ_1
— = summe $\sigma_1 + \sigma_3$ /cm
= Spannungsverteilung über der Balkenhöhe
matrizenweise.



Die Arbeitskurve der Spanngurte ist abgesehen von den Kurven τ_{min} und τ_{max} eine Funktion von σ und τ .

- $\tau = \text{Spanngurtspannung}$ "Grund"
- $\sigma = \text{Spanngurtspannung}$ der beiden Stäbe im Querschnitt
- $\tau_{\text{min}} \approx 10 \text{ MPa}/\text{mm}^2$
- $\tau_{\text{max}} \approx 400 \text{ MPa}/\text{mm}^2$

++: } reihen und parallel.



Höchstgeschwindigkeit des Pendels auf einer kreisförmigen Bahn

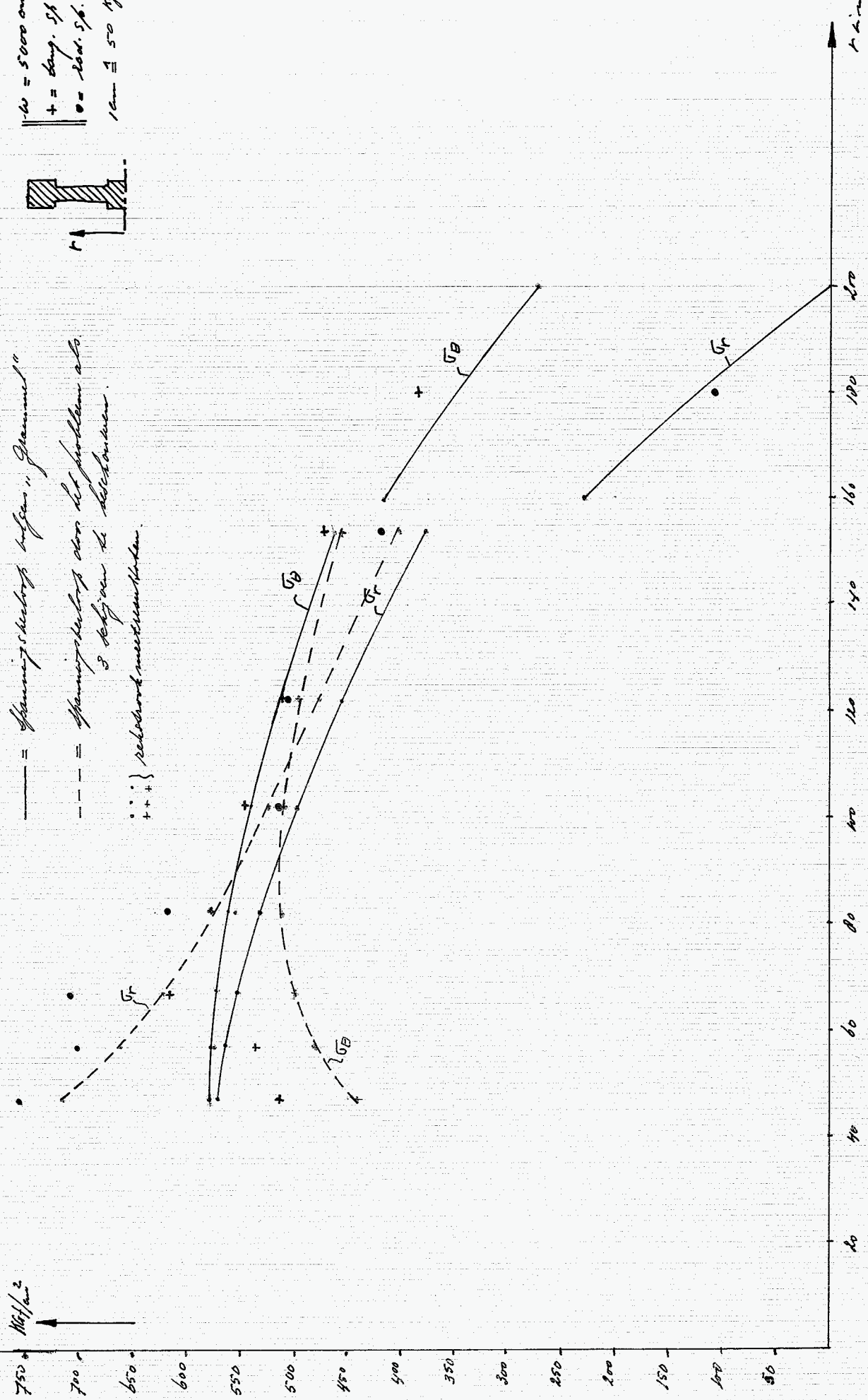
$$\begin{aligned} \omega &= 5000 \text{ rad/min} \\ + &= \text{lang. St. } G_B \\ \circ &= \text{kurz. St. } G_B \\ r &= 50 \text{ m} \end{aligned}$$

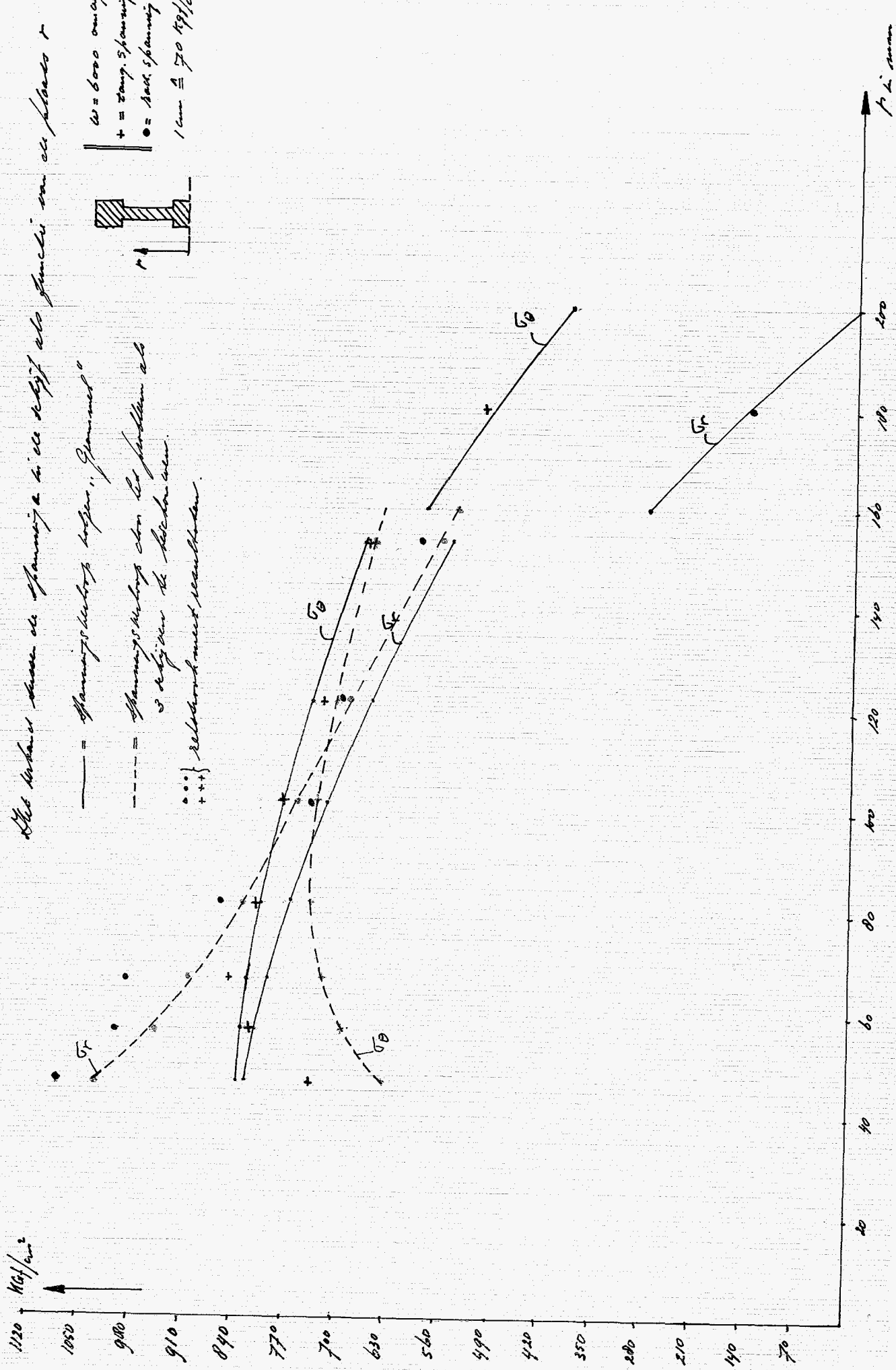


\longrightarrow = Spanngeschwindigkeit "Gesamt"

\dashrightarrow = Spanngeschwindigkeit des Pendelarms
z. Beginn der Schwingung.

$\cdot \cdot \cdot \cdot$ = Schwingungsgeschwindigkeit.





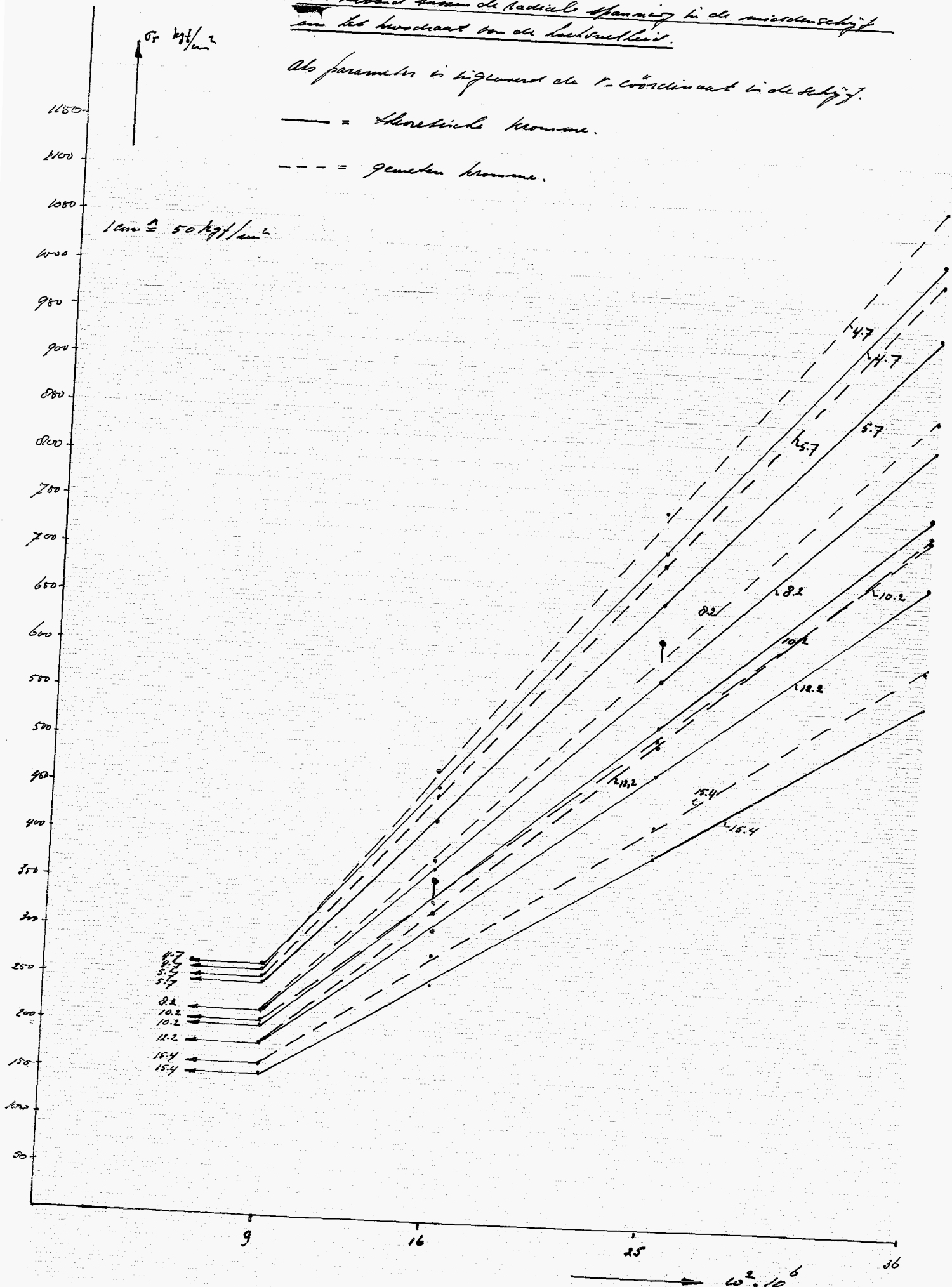
Het verband tussen de radiale spanning in de microtensielijf en het kwadrat van de lastdrukveld.

Als parameter is opgenomen de r -coördinaat in de schijf.

— = theoretische kromme.

--- = gemeten kromme.

$$1 \text{ cm}^2 = 50 \text{ kgf/cm}^2$$



Het verband tussen de tangentiële spanning σ_T en de
middenafz. en het kwadraat van de halsdikte.

Als parameter is opgevoerd de w -coördinat t.d. schijf.

— = elastische kromme.
--- = gedane kromme.

$\sigma_T \text{ kg/cm}^2$

$1 \text{ cm} = 20 \text{ kgf/mm}^2$

